

# 惑星大気・プラズマ シミュレーション

寺田直樹（東北大）

2017年9月7日

STEシミュレーション研究会

# Outline

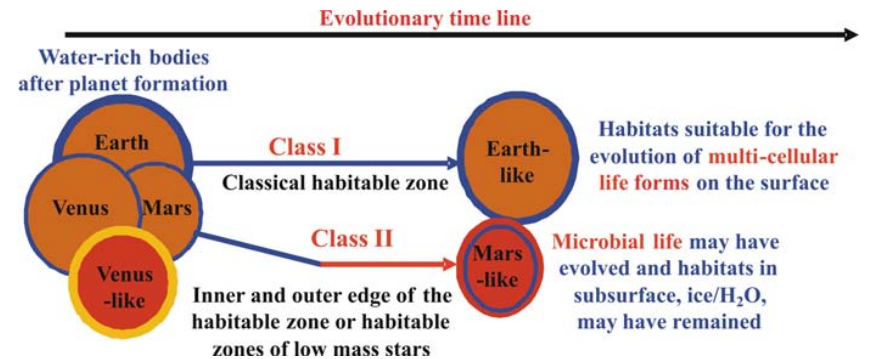
- イントロダクション
  - 生命存在可能環境、水や大気の安定性
    - パラメータ：中心星(可視・紫外)放射強度、惑星サイズ、惑星大気組成・量、惑星磁場強度、等々(今日は下線部分に特に着目)
    - 地球型惑星(過去含む)、系外惑星
  - (小天体、プラズマ-固体相互作用)
- 初期火星の磁気圏-電離圏MHDシミュレーション [S. Sakai et al.]
- 火星上層大気のDSMCシミュレーション [K. Terada et al.]  
を中心に紹介

# イントロダクション

- 生命環境の進化（生命圏の誕生・持続に至る条件の解明）は、惑星科学の中心課題となりつつある。

- 生命存在可能領域（HZ）

- Class I
  - 地球類似惑星（古典的HZ）
- Class II
  - 初期はClass Iと類似。  
その後の進化が異なる。

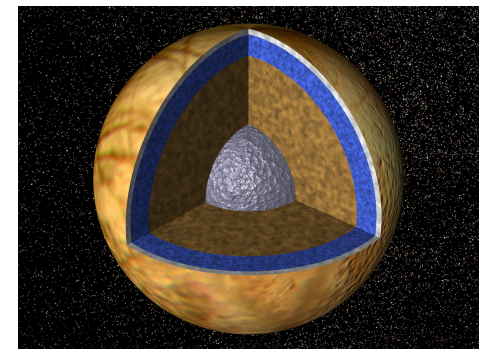


[Lammer et al., 2009]

- Class III
  - 地下海
- Class IV
  - 表層 & 地下海

水や大気の安定性

氷衛星探査：  
JUICE, Europa Clipper,  
Ocean Worlds



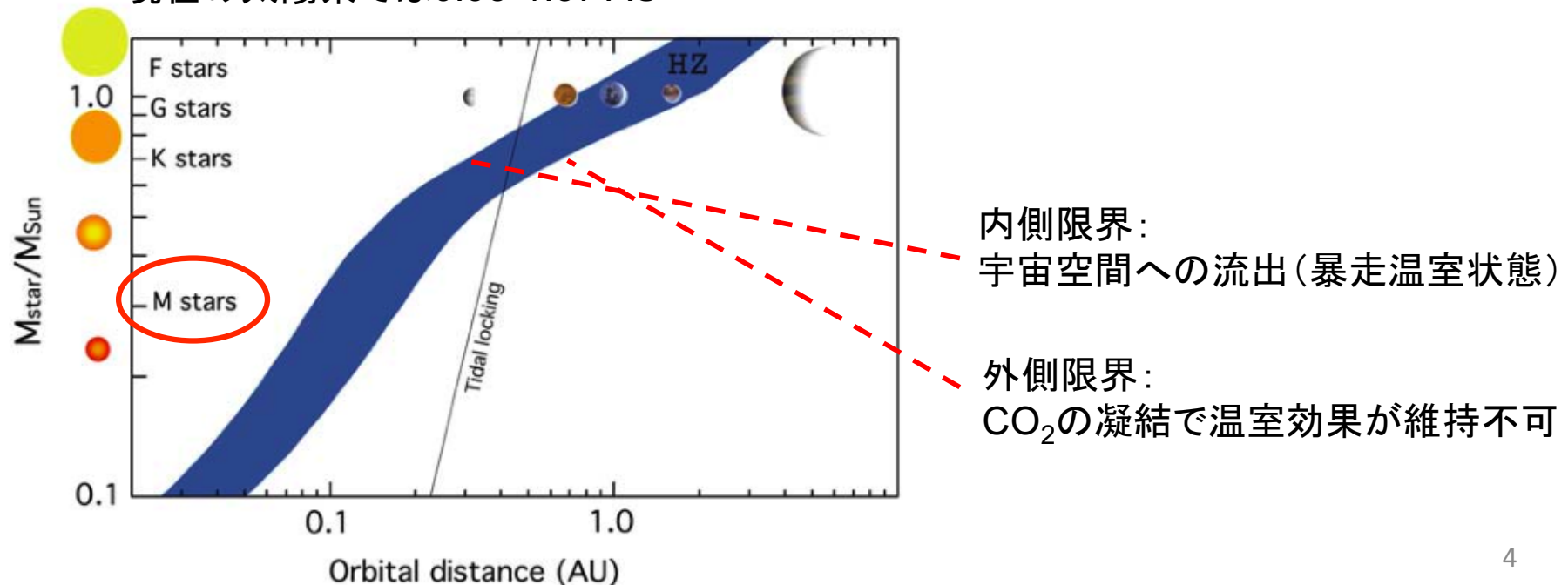
# 水や大気の安定性

- 鍵となるパラメータは
  - 中心星(可視・紫外)放射強度、惑星サイズ、惑星大気組成・量、惑星磁場強度、等々

連続的生存可能領域(CHZ)の古典的定義:

地球類似の惑星が、表面に液体の水を保持できる領域。

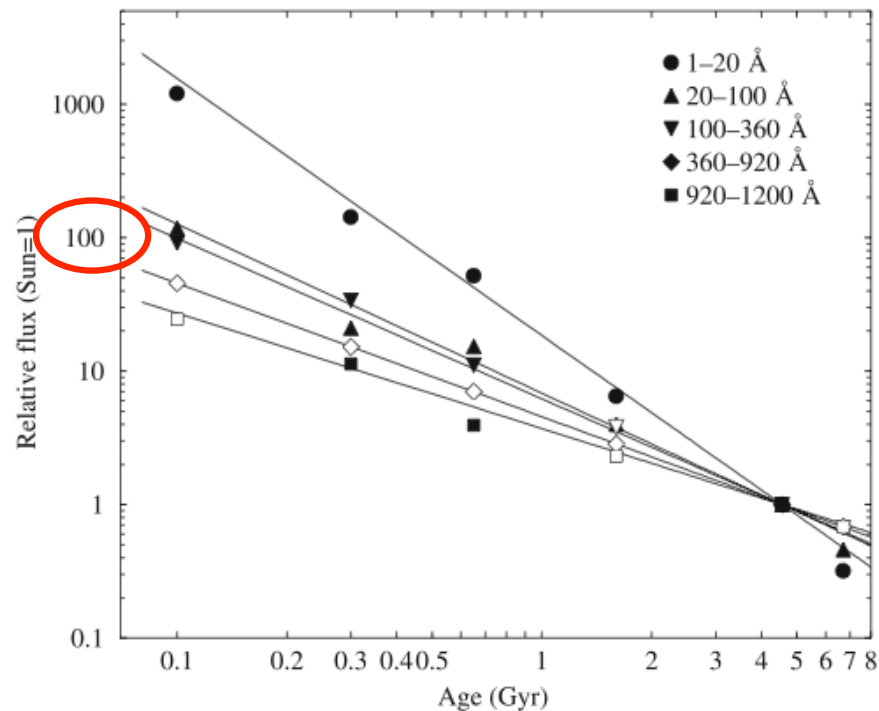
現在の太陽系では0.95-1.37 AU





# 水や大気の安定性

- 鍵となるパラメータは
  - 中心星(可視・紫外)放射強度、惑星サイズ、惑星大気組成・量、惑星磁場強度、等々

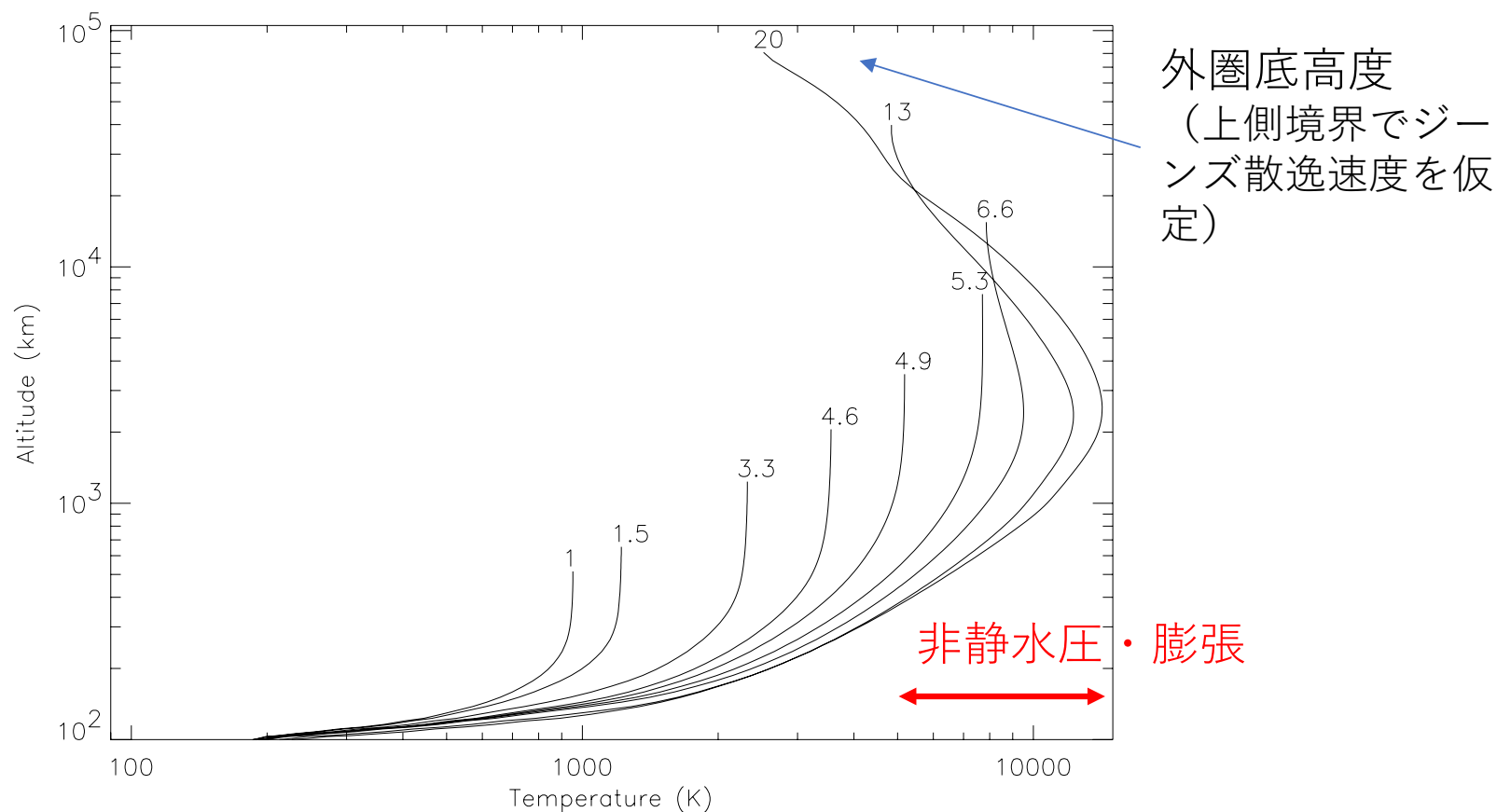


過去の太陽紫外放射、太陽風は強かった。

- 自転速い⇒内部の差動回転大  
⇒磁場生成大⇒表面活動大  
⇒激しいコロナ、フレア、太陽風

様々な年代のG型主系列星における  
X線～紫外放射 [Ribas et al., 2005]

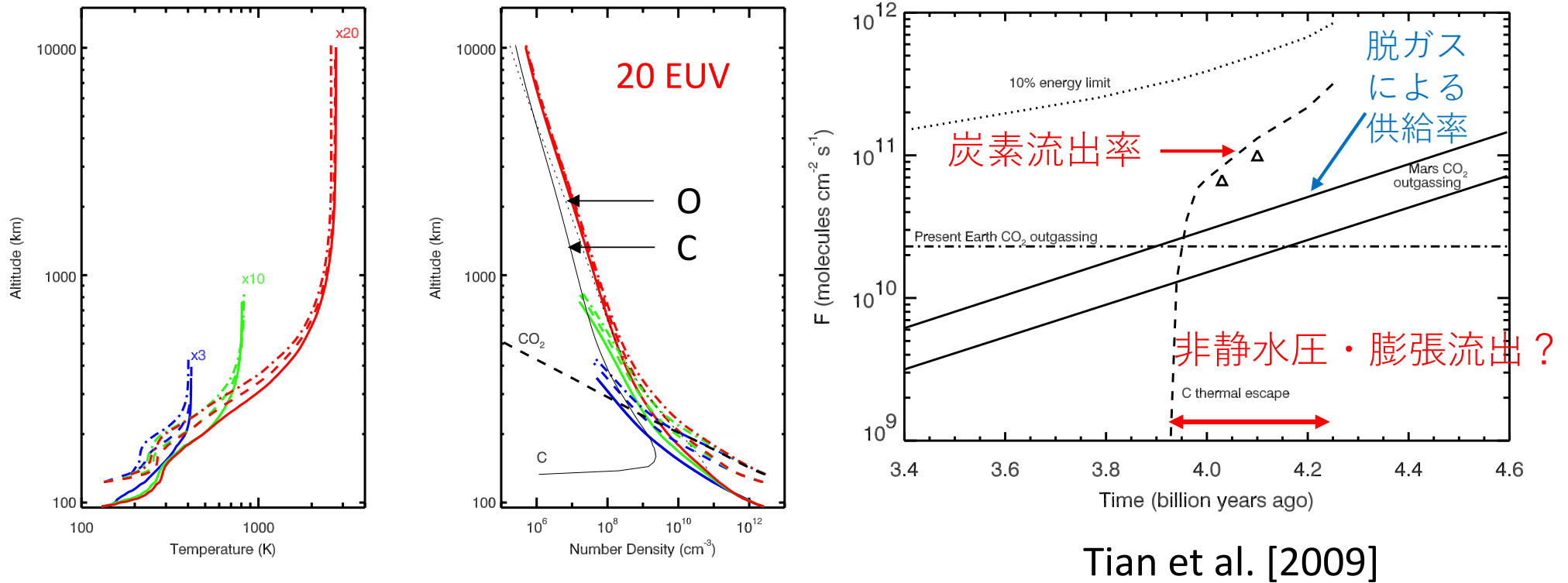
# 初期地球大気は大膨張？



- 地球熱圏モデル [Tian et al., 2008]

- 太陽EUV放射が6倍（約35億年前）で外圏底が10,000kmに？
- 太陽EUV放射が20倍（約41億年前）で外圏底が100,000kmに？？
- 膨張、断熱冷却が重要となる

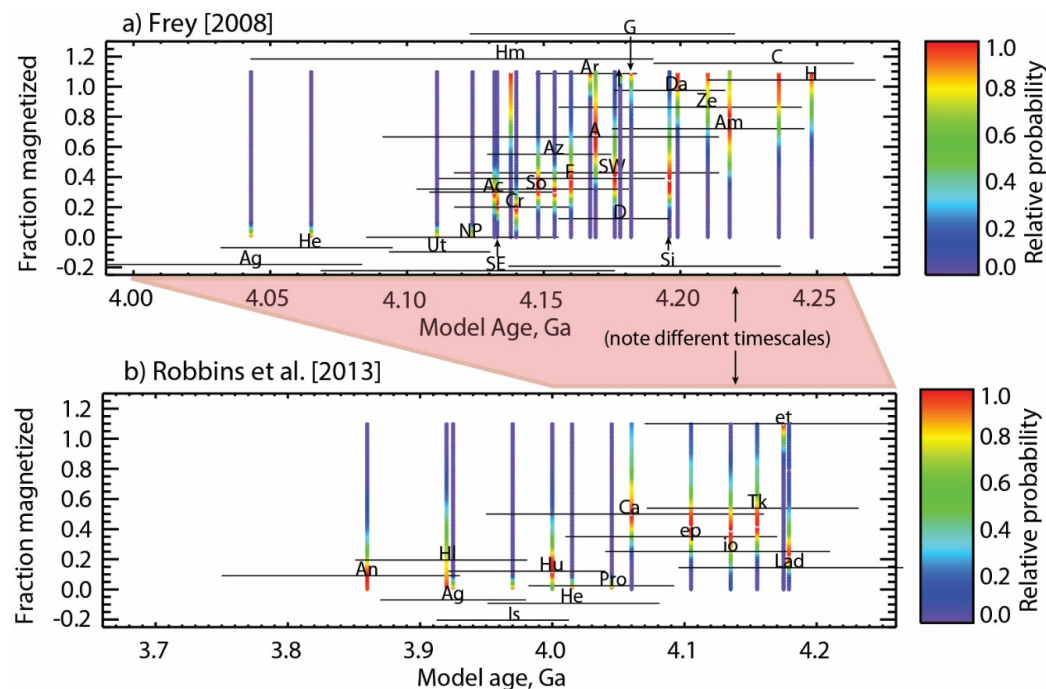
# 火星は初期数億年間、 大気を保持できなかつた？



- 約40億年前 (~20 EUV) 以前に酸素や炭素が大規模流出？
- 初期数億年間は大気を保持できず、その後大気を形成??

# 初期火星の磁場

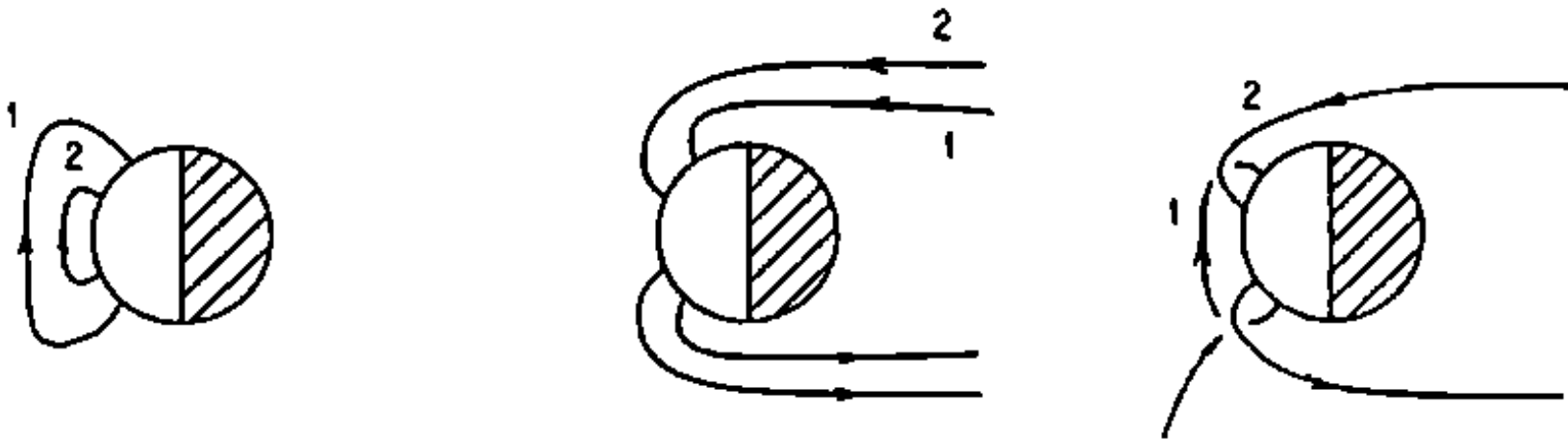
- クレータ磁場より、火星のダイナモは40-41億年前に停止 [Lillis et al., 2013]
- 表面磁場強度は $\sim 5000\text{nT}$ ?? [Weiss et al., 2008]
- 磁気圏は大気を守ったのか？
- それとも大気の流出を促したのか？



[Lillis et al., 2013]

# 初期火星磁気圏

- そもそも火星は、地球のような磁気圏を持てるのか？
  - 厚い大気（電離圏）と弱い磁場を持つ惑星では、電離圏側の対流を駆動しにくく、磁力線が交差してしまう？

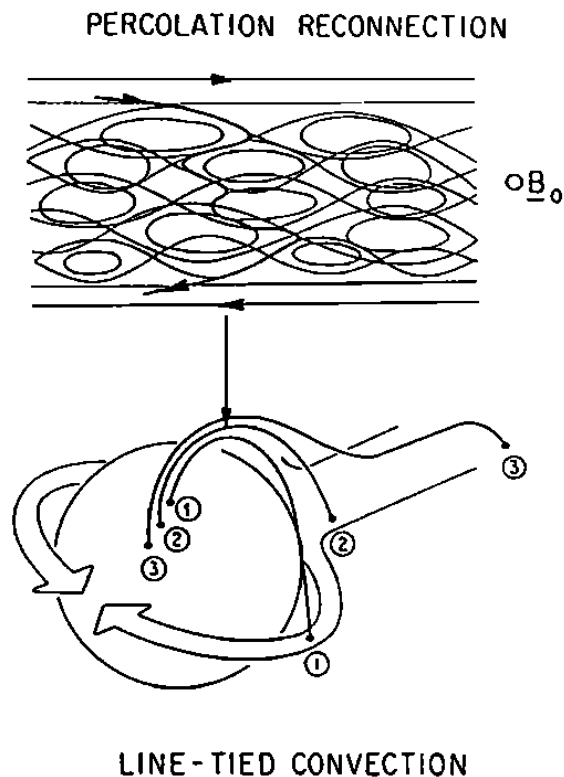


**Topological crisis**

[Kennel and Coroniti, 1989]

# 初期火星磁気圏

- そもそも火星は、地球のような磁気圏を持てるのか？
  - 厚い大気（電離圏）と弱い磁場を持つ惑星では、電離圏側の対流を駆動しにくく、磁力線が交差してしまう？



電離圏の応答時間は

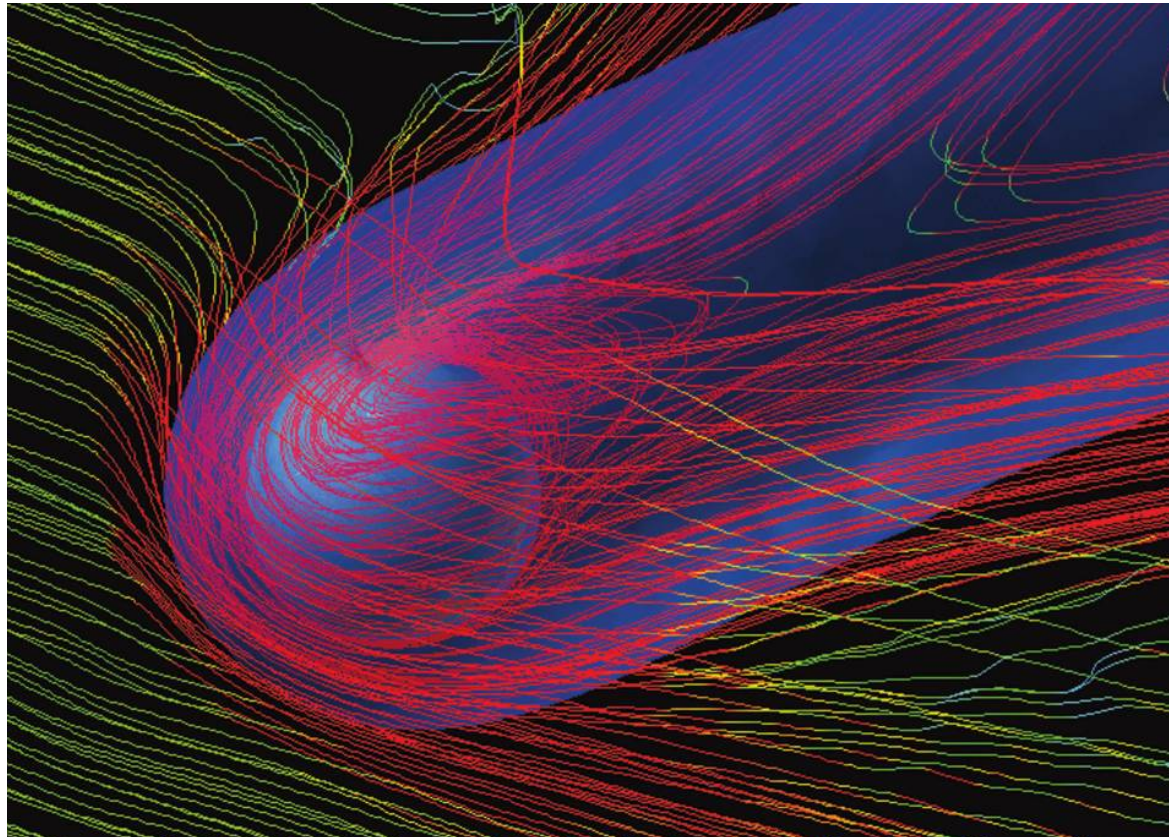
$$\Delta = 16\pi^2(\gamma+2)\mu\lambda\Sigma_p/c^2D^2\Lambda(\Delta B_{CF})$$

地球では  $\Delta=20$ 分 ( $\Sigma_p=10$  mho) 、  
火星で  $B_{surf}=60$ nT では  $\Delta\sim 6$ 日 ( $\Sigma_p=3000$  mho)

[Kennel and Coroniti, 1989]

# 初期火星の磁気圏-電離圏MHDシミュレーション [S. Sakai et al.]

- Terada et al. [2009]の太陽風-火星電離圏MHDシミュレーションに、固有磁場を与える

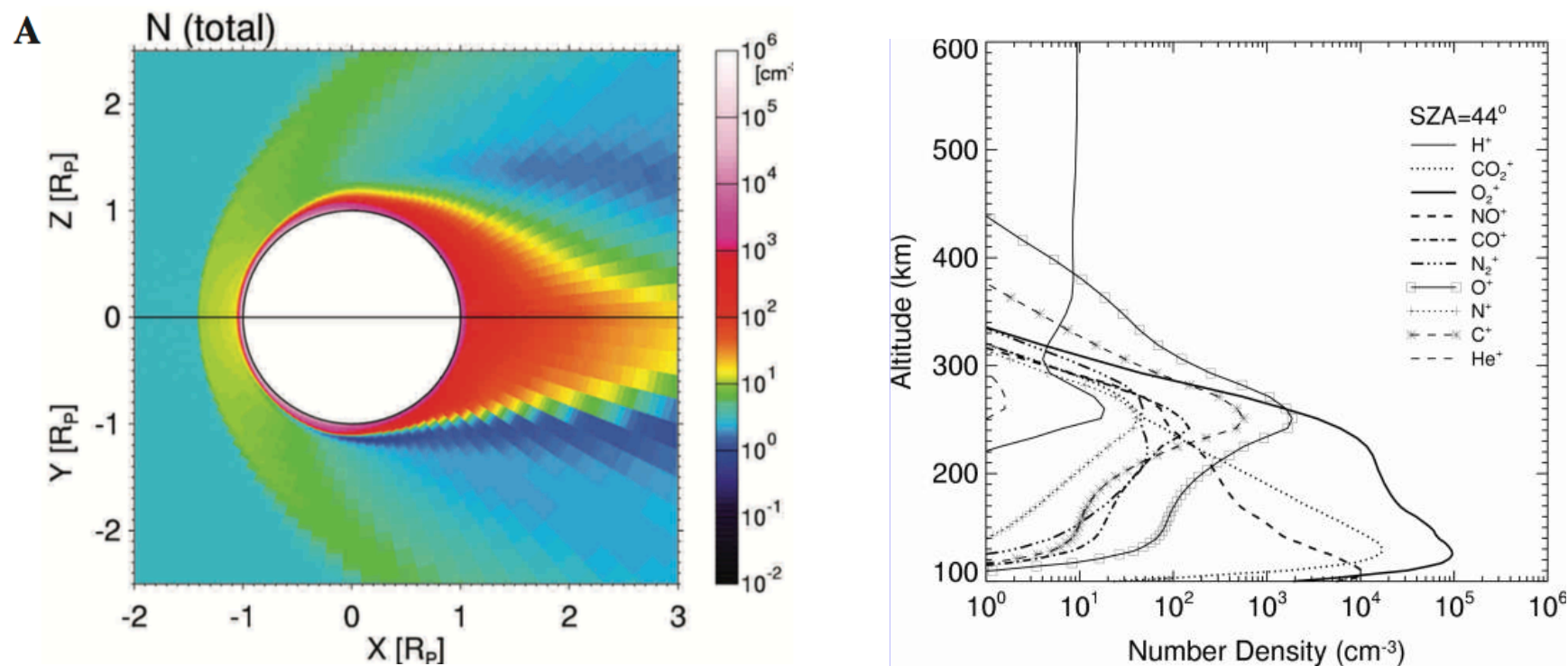


100 EUV ~ 45億年前の火星。双極子磁場無し [Terada et al., 2009]



# 初期火星の磁気圏-電離圏MHDシミュレーション [S. Sakai et al.]

- Terada et al. [2009]の太陽風-火星電離圏MHDシミュレーションに、固有磁場を与える
  - 第一ステップとして、電離圏パラメータは現在の火星と同一



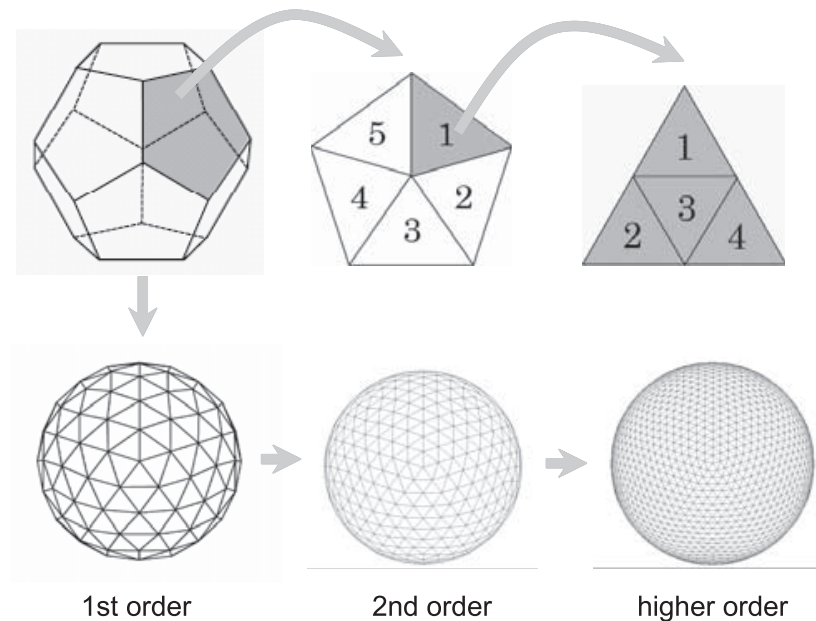
現在の火星。双極子磁場無し [Terada et al., 2009]



# 初期火星の磁気圏-電離圏MHDシミュレーション [S. Sakai et al.]

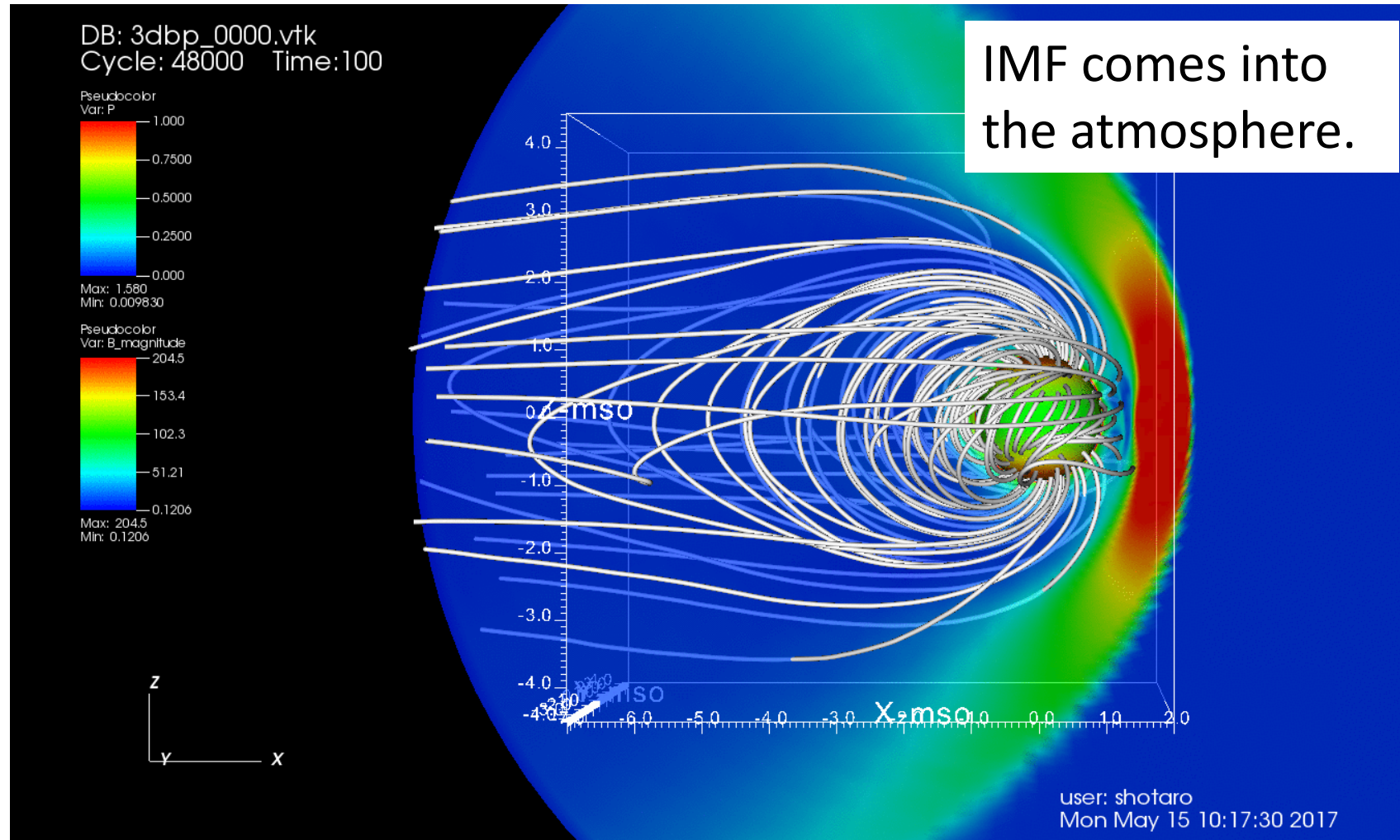
- 3次精度TVDスキーム[Tanaka, 1994]を用いた3次元多成分MHDシミュレーション。
- $\text{CO}_2^+$ ,  $\text{O}_2^+$ ,  $\text{O}^+$ ,  $\text{H}^+$ などの14イオンの光化学反応を含む。
- 赤道表面で100 nTの双極子磁場を与えた。

Grid system made from a dodecahedron



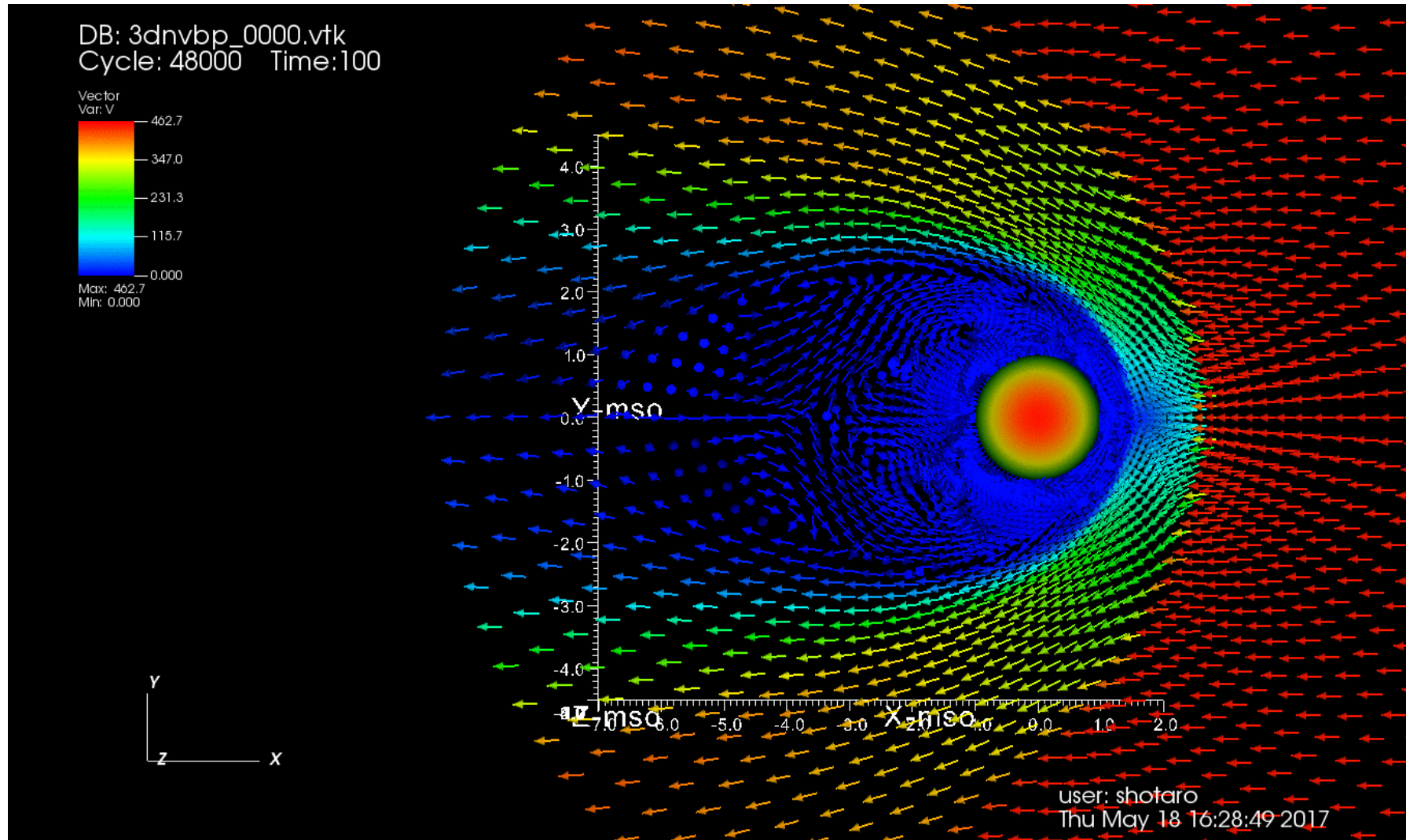
シミュレーションで  
用いた非構造格子  
[Moriguchi et al., 2008]

# 初期火星の磁気圏-電離圏MHD シミュレーション [S. Sakai et al.]



赤道表面で100 nTの双極子磁場。IMFはパーカースパイラル。  
磁力線と圧力の図 [S. Sakai et al., JpGU 2017]

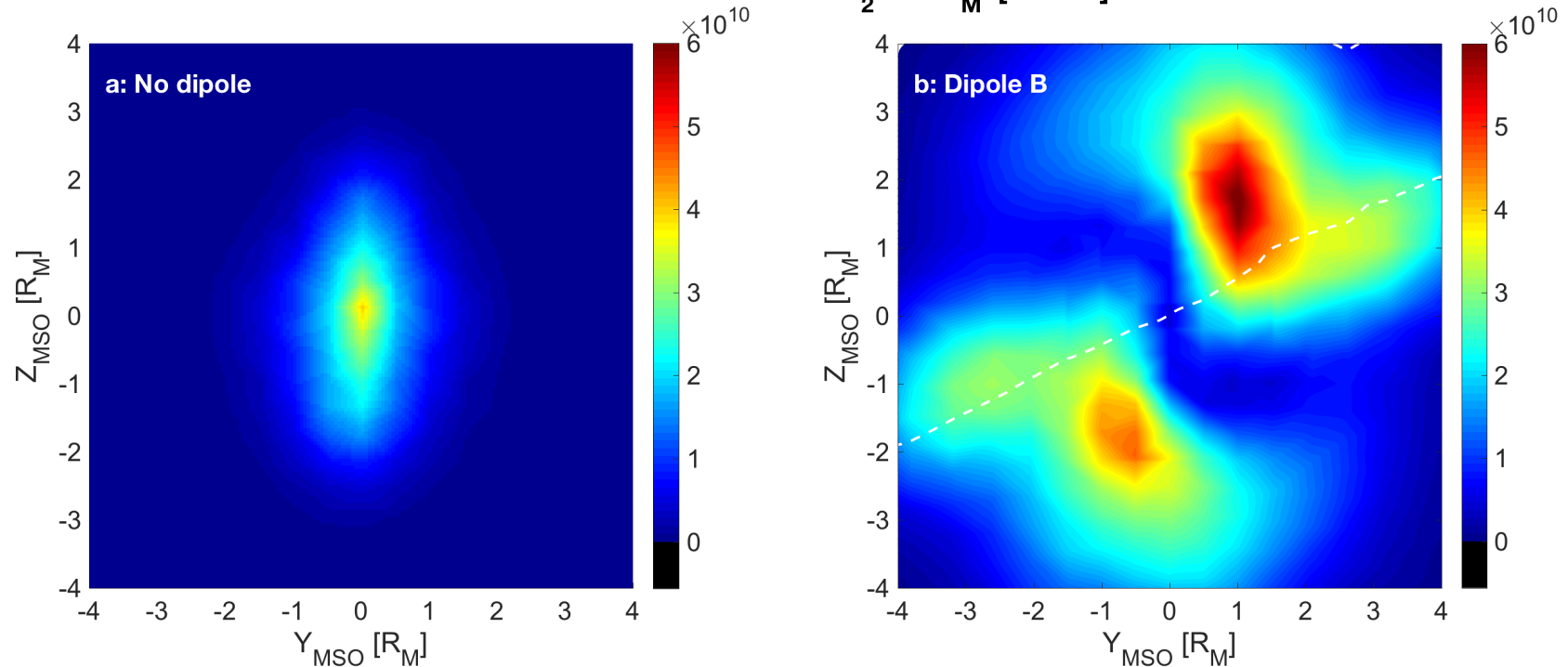
# 初期火星の磁気圏-電離圏MHDシミュレーション [S. Sakai et al.]



x-y面での速度ベクトル

# 初期火星の磁気圏-電離圏MHDシミュレーション [S. Sakai et al.]

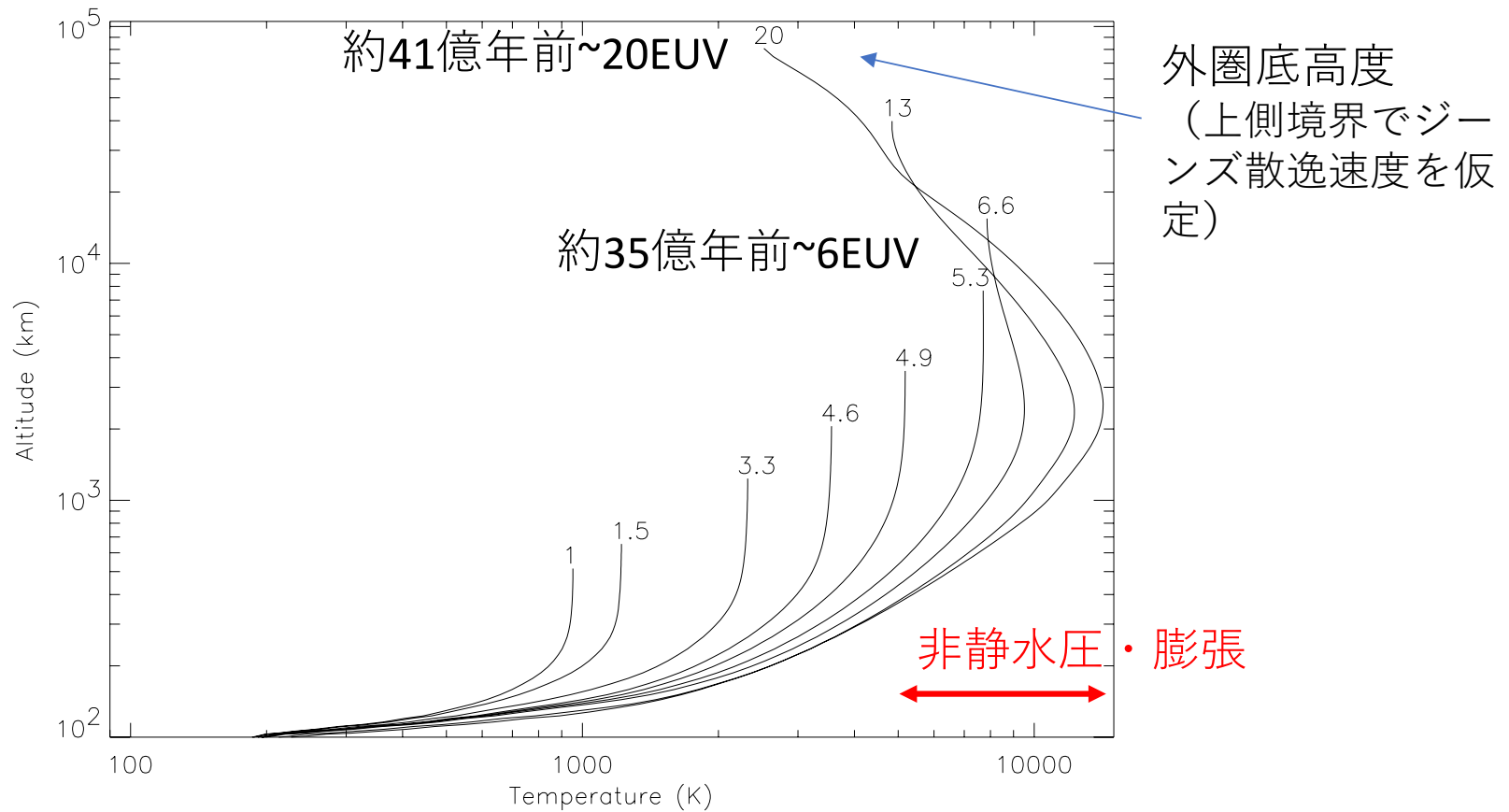
Tailward flux of  $O^+$  and  $O_2^+$  at  $7 R_M$  [ $m^{-2} s^{-1}$ ]



- 反太陽向き  $O^+ + O_2^+$  フラックス ( $X = -7R_M$ )
  - 双極子磁場なし (左図)
    - 火星の影にピークが1つ
  - 双極子磁場あり (右図)
    - 高緯度側にピークが2つ。より多くのイオンが流出。  
少なくとも本計算では、磁場は大気を守っていない。

初期地球の膨張熱圏モデルは妥当か？

# 初期地球の膨張熱圏モデル



[Tian et al., 2008]

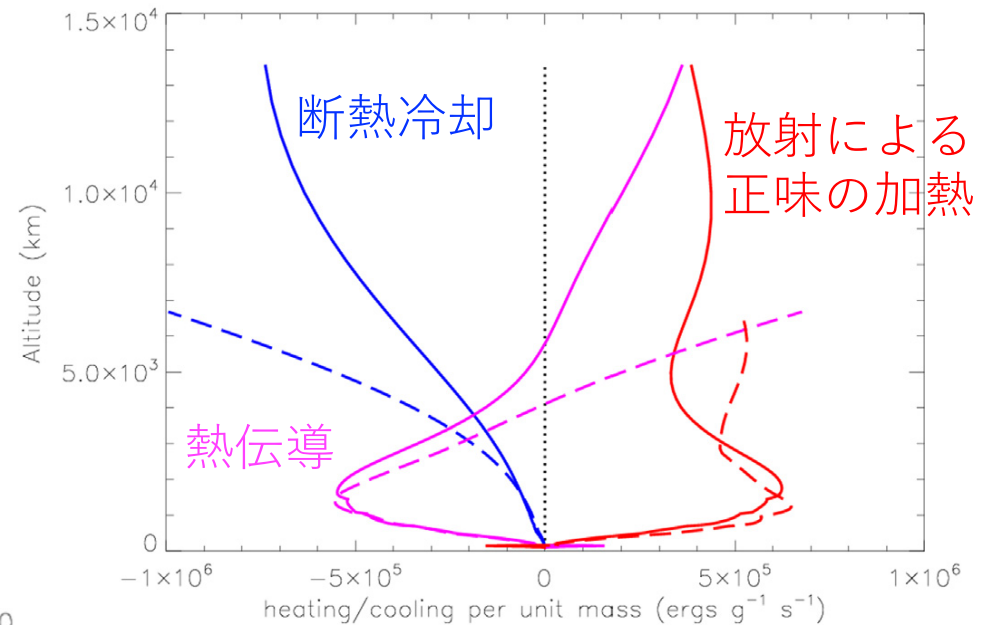
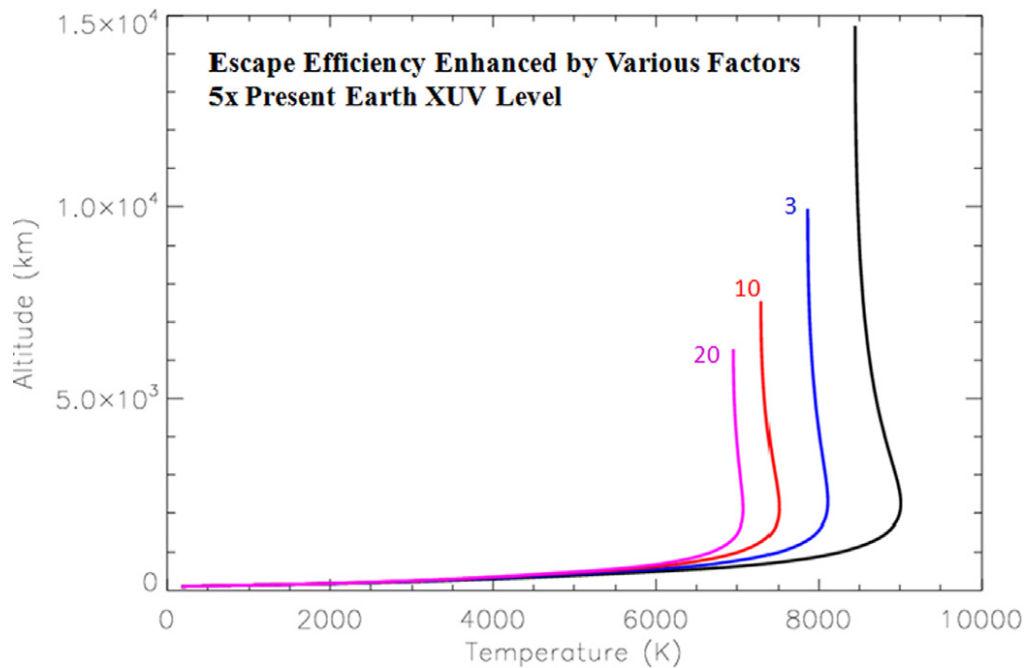


# 膨張熱圏モデルの問題点: 上側境界条件の影響

Tian [2013]

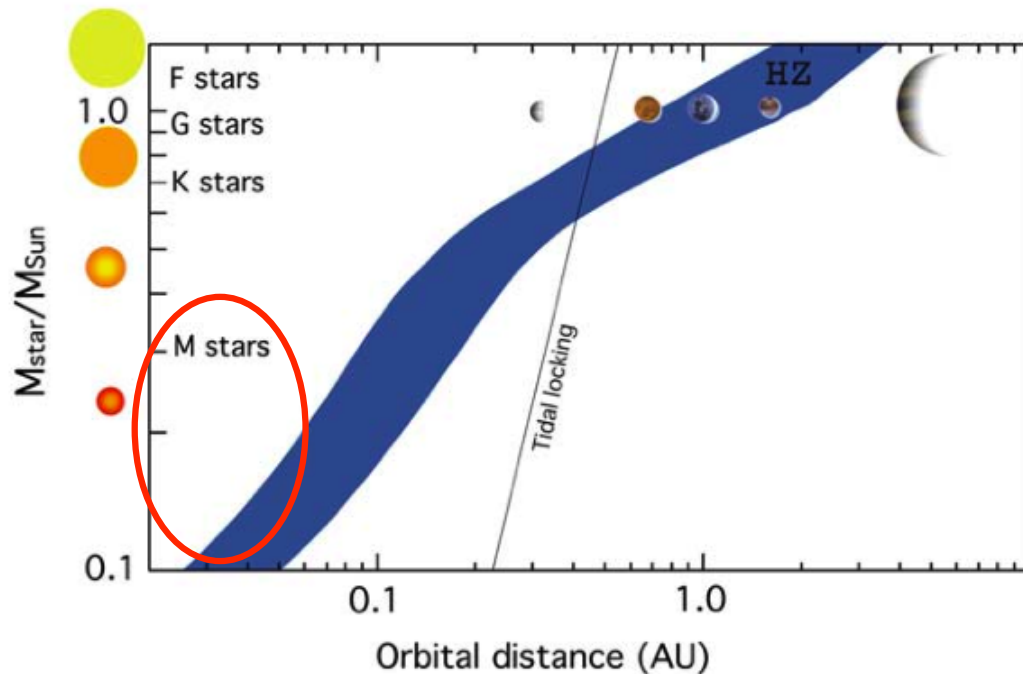
非熱的散逸などの効果を考慮して、  
上側境界からの散逸速度を3, 10, 20倍に

加熱・冷却項  
実線は非静水圧時（左図の黒線）



境界条件を変えると、  
大気はあまり膨らまない？

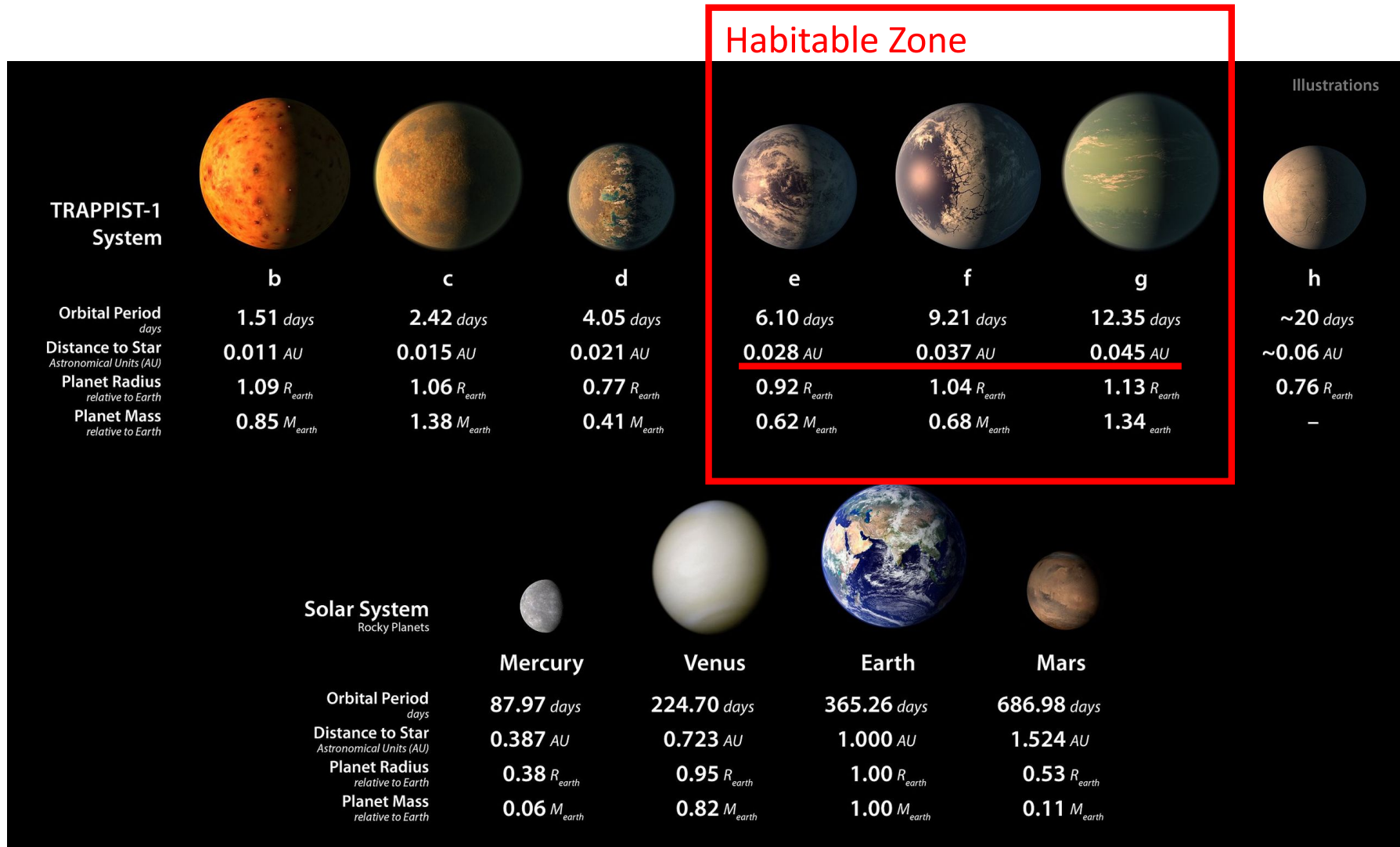
# 膨張熱圏モデルの問題点



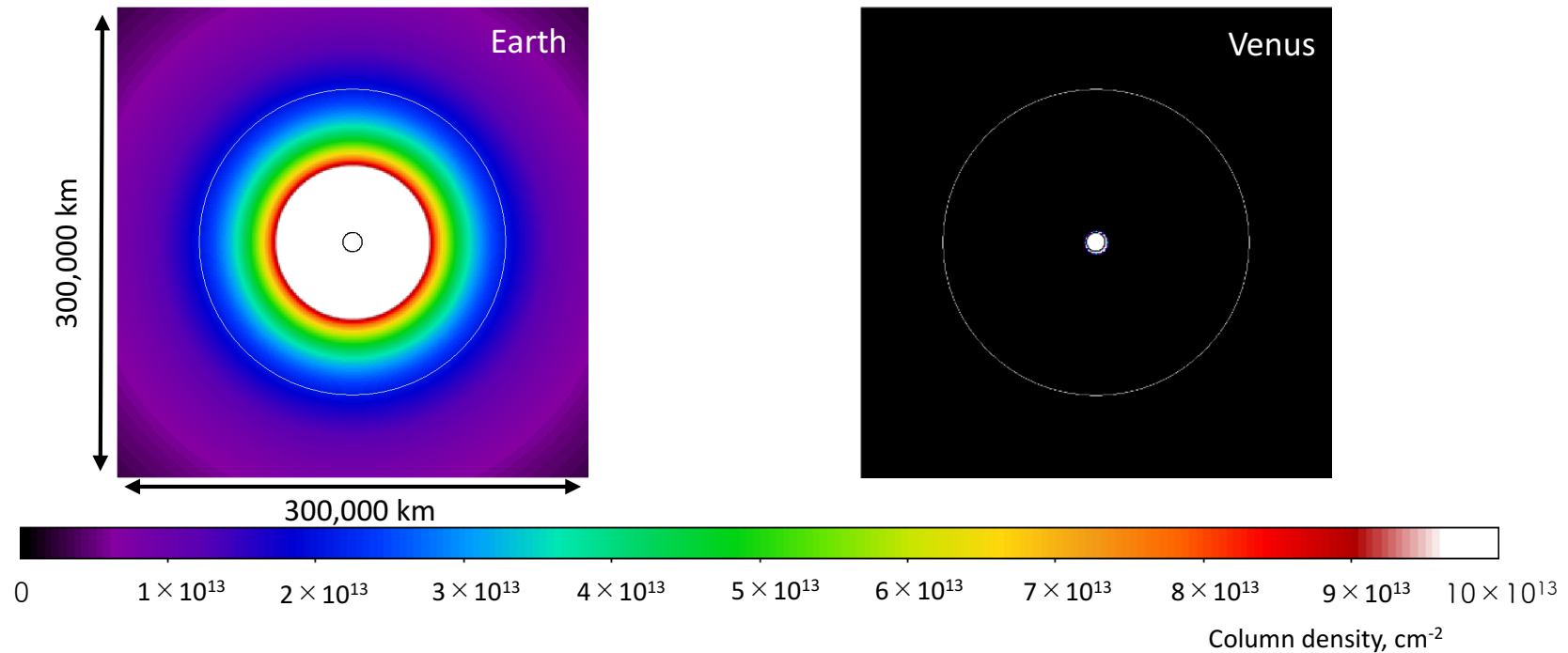
- 実はこれは大きな問題。
- ハビタブルゾーンに入る惑星が見つかりつつあるが、その殆どがM型星周りの惑星。
- 中心星に近く、相対的に紫外放射が強い場合が多い。
- 同様に大気が膨張している可能性がある。



# TRAPPIST-1 system



# Oxygen thermosphere/exosphere (10 EUV)



- Black circle : Planet, White circle : Star (Proxima Centauri)
- Earth-like case : Optically thick oxygen to  $\sim 8R_e$  ( $1 \times 10^{14} \text{ cm}^{-2} \sim \tau=1$ )

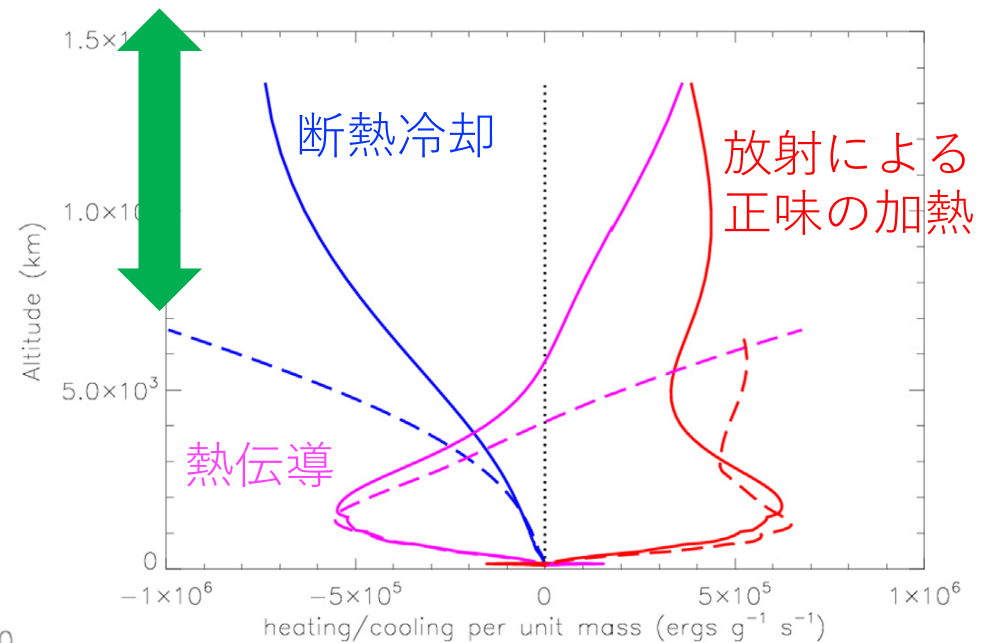
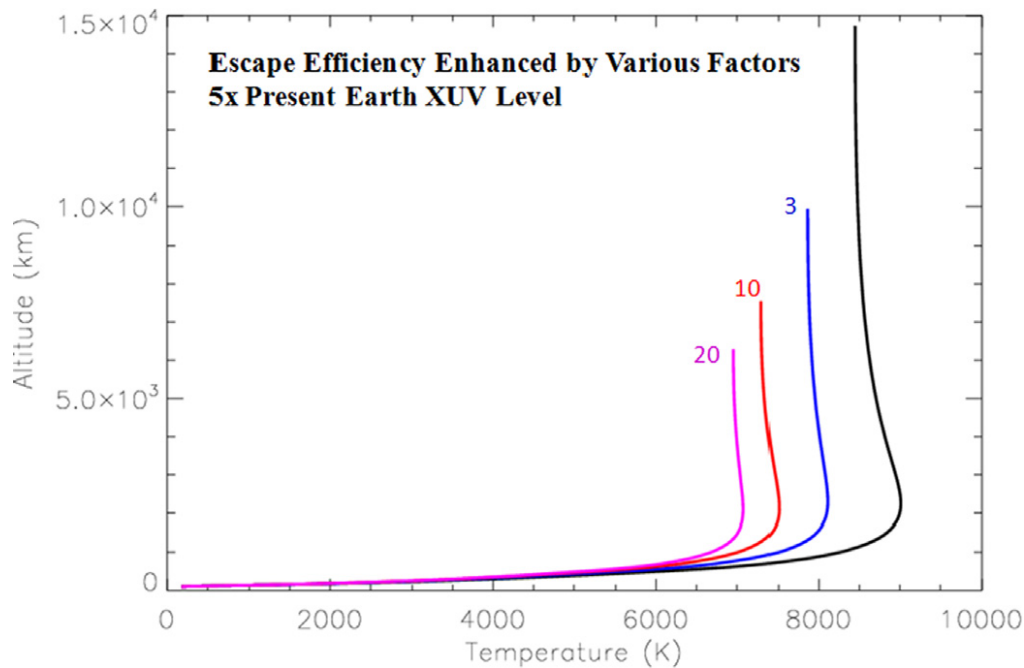
(亀田 et al. 系外惑星紫外分光WG資料<sup>22</sup>より)

# 膨張熱圏モデルの問題点: 上側境界条件の影響

Tian [2013]

非熱的散逸などの効果を考慮して、  
上側境界からの散逸速度を3, 10, 20倍に

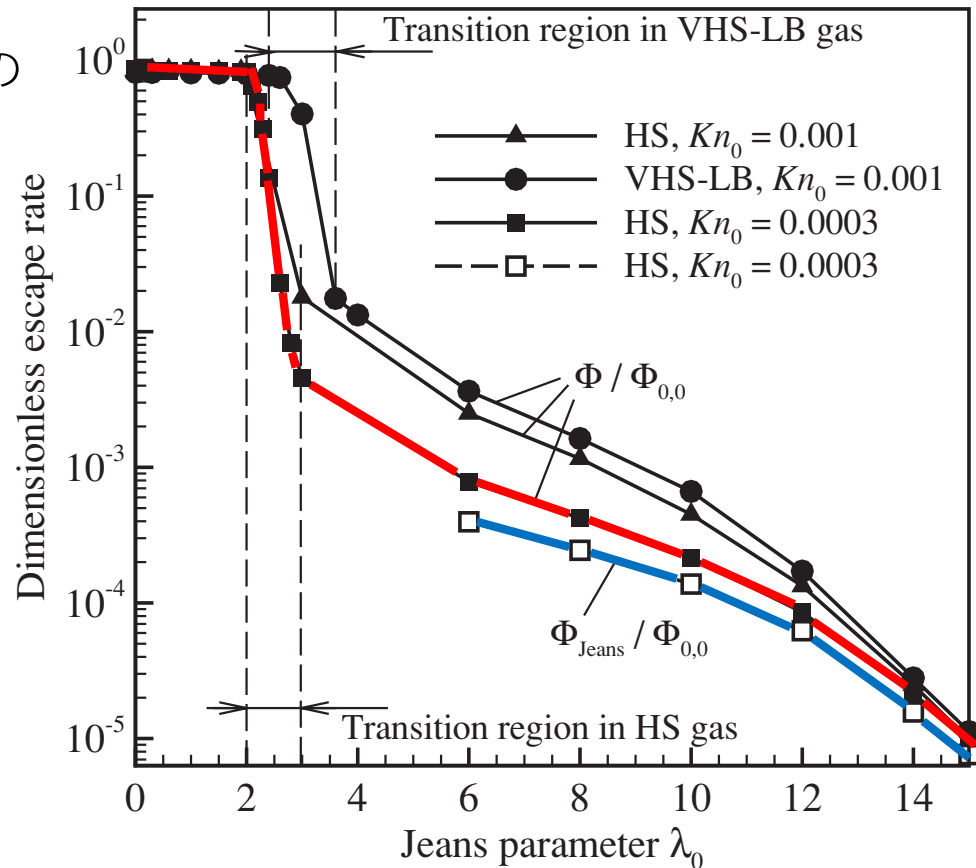
衝突大気から無衝突大気に遷移。  
流体近似が成り立たなくなる。



境界条件を変えると、  
大気はあまり膨らまない？

# 全粒子(DSMC)モデル

Volkov et al. [2011]の  
DSMCモデル



HS : Hard Sphere原子モデル  
VHS : Variable Hard Sphere分子モデル

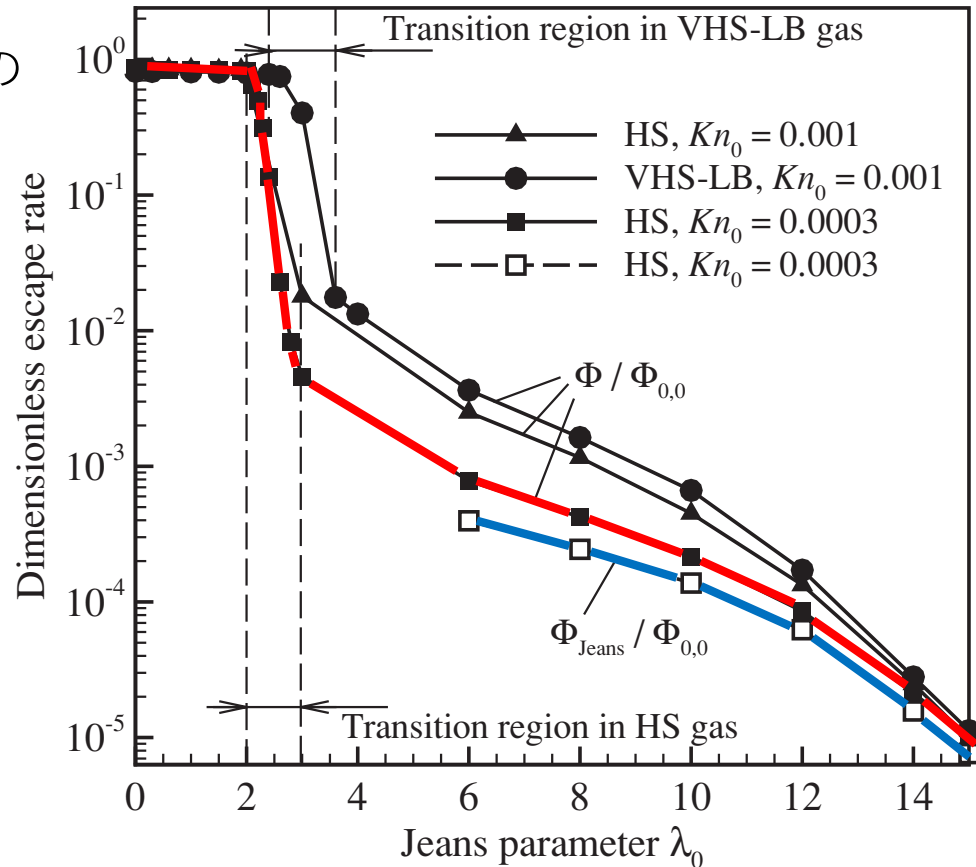
DSMCモデル

膨張しない場合の解析解

- 膨張しない状態 (hydrostatic状態) が続く
  - 膨張状態 (slow hydrodynamic escape) はほとんど起こらない?
  - Hydrodynamic escapeへの切り替えは急激

# 全粒子(DSMC)モデル

Volkov et al. [2011]の  
DSMCモデル



HS : Hard Sphere原子モデル  
VHS : Variable Hard Sphere分子モデル

DSMCモデル

膨張しない場合の解析解

ただし、Volkovモデルは、

- 加熱は下端のみ
- 放射冷却や光化学反応は考慮せず

→ これらを考慮したDSMCモデルが必要 [K. Terada et al., 2016]

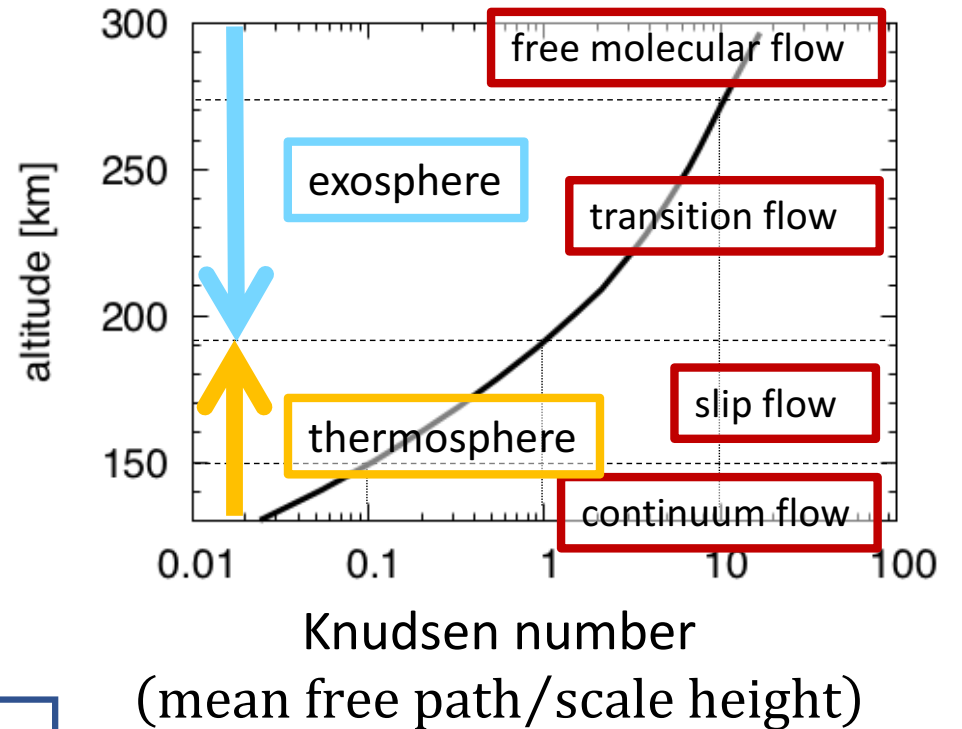
熱圏・外圏DSMCモデル  
の開発 [K. Terada et al., 2016]  
と、衛星観測との比較

# Full-particle DSMC simulations

## Boltzmann equation

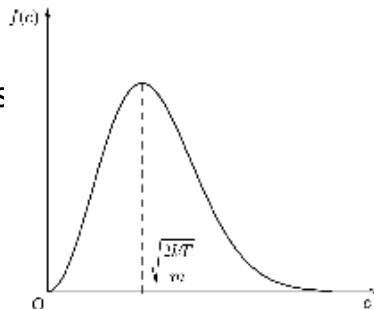
$$\frac{\partial}{\partial t}(nf) + c \frac{\partial}{\partial r}(nf) + F \frac{\partial}{\partial c}(nf) = \int_{-\infty}^{\infty} \int_0^{4\pi} n^2 (f * f_1 - f f_1) c_r \sigma d\Omega dc_1$$

$n$  : number density,  $f$  : velocity distribution function,  $c$  : molecular velocity,  $c_r$  : relative molecular speed,  $F$  : external force per unit mass, subscript \* : post-collision values,  $f$  and  $f_1$  : distribution functions of two different types of molecules of class  $c$  and  $c_1$ , respectively,  $\sigma$  : collision cross-section,  $t$  : time,  $r$  : physical space,  $\Omega$  : solid angle



### continuum flow

- Energy of molecules are distributed according to Maxwell distribution

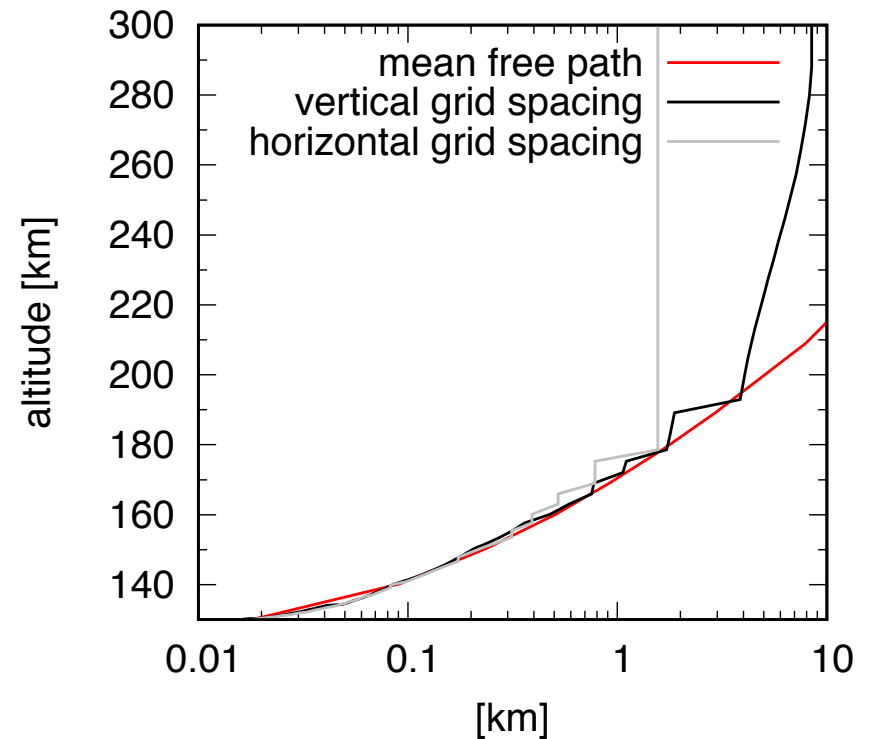


Navier-Stokes equations

- The first order moment of  $f$

# Full-particle DSMC simulations

- A thermosphere-exosphere DSMC model [K. Terada et al., 2016]
  - A full-particle code
  - 2-D version is used in this study
- Grid spacing
  - $\Delta x = 10\text{m} \sim 1\text{km}$
  - $\Delta z = 10\text{m} \sim 10\text{km}$
  - ( $l_{\text{mfp}} = 10\text{m} \sim 10\text{km}$ )
- No. of particles in a cell
  - $> \sim 100$  particles/cell





# MD simulation

numerical integration scheme

Verlet algorithm

interval of time

$$\Delta t = 3 \times 10^{-18} \sim 1 \times 10^{-17} \text{ s}$$

cutoff point

$$F \leq 1.0 \times 10^{-19} \text{ N}$$

deflection angle

$$\chi = \cos^{-1} \left( \frac{\sqrt{(v_x - v_{xGC})^2}}{\sqrt{(v_x - v_{xGC})^2 + (v_y - v_{yGC})^2}} \right)$$

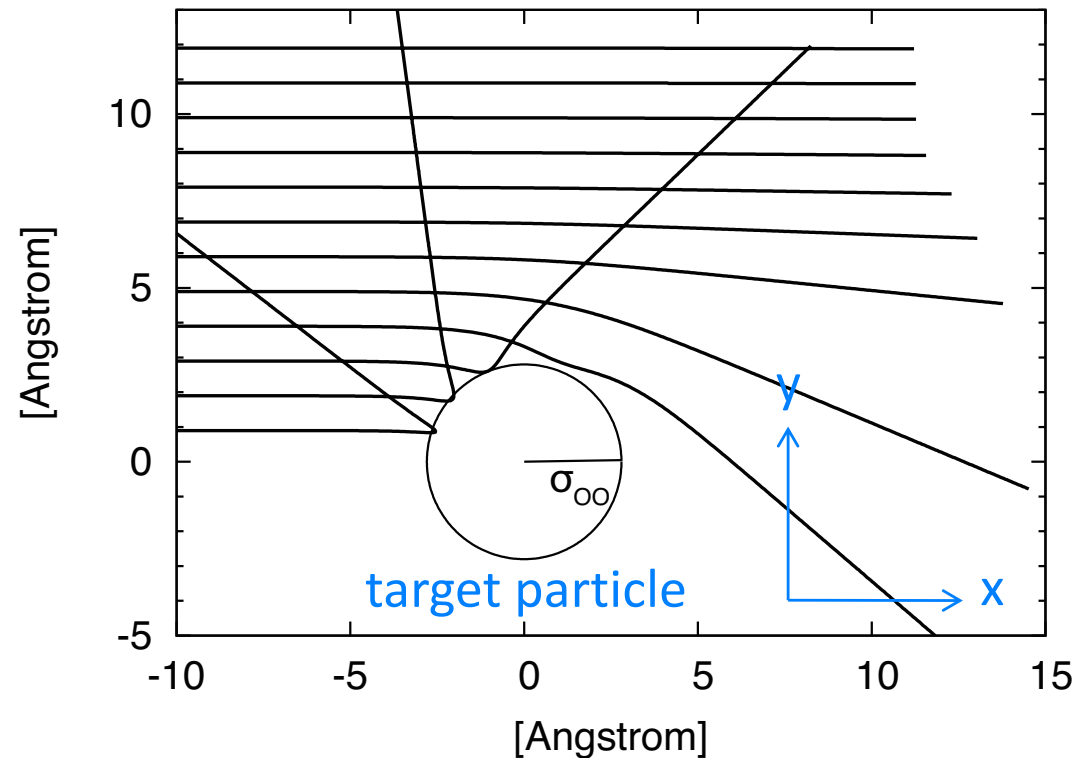
diffusion cross section

$$\sigma_M \equiv 2\pi \int_0^\infty (1 - \cos \chi) b db \approx 2\pi \sum_{b=0}^{15 \times 10^{-10}} (1 - \cos \chi) b \Delta b$$

viscosity cross section

$$\sigma_\mu \equiv 2\pi \int_0^\infty (1 - \cos^2 \chi) b db \approx 2\pi \sum_{b=0}^{15 \times 10^{-10}} (1 - \cos^2 \chi) b \Delta b$$

Calculated orbit of O interacting with O  
(collision energy = 0.03 eV)



$v_x, v_{xGC}, v_y, v_{yGC}$  :  
value at cutoff point

$$\Delta b = 1.0 \times 10^{-13} \text{ m}$$

# DSMC collision model

Variable sphere model [Matsumoto, 2002]

$$\chi = \begin{cases} \chi_0 & (b \leq d) \\ 0 & (b > d) \end{cases} \quad \left( \begin{array}{l} \chi_0 : \text{scattering angle} \\ b : \text{impact parameter} \end{array} \right)$$

$$\sigma_M = 2\pi \int_{\chi=0}^{\chi=\infty} (1 - \cos \chi) b db = (1 - \cos \chi_0) \pi d^2$$

$$\sigma_\mu = 2\pi \int_{\chi=0}^{\chi=\infty} (1 - \cos^2 \chi) b db = (1 - \cos^2 \chi_0) \pi d^2$$

This collision model is simple and efficient, and both diffusion and viscosity cross-sections are consistent with those of the intermolecular potential.

For intermolecular potential (Lennard-Jones(6-12) & Universal potentials), solar EUV heating, CO<sub>2</sub> 15 μm radiative cooling, etc., see K. Terada et al. [2016].

# 加熱過程と冷却過程

## Heating mechanism

dissociative recombination of  $O_2^+$

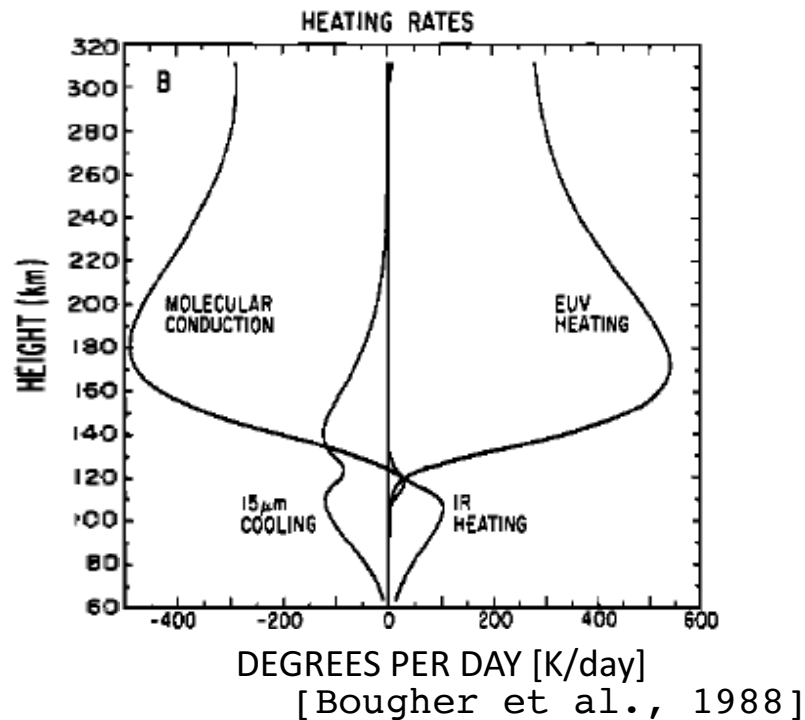
other minor heating sources are included using a macroscopic heating efficiency

## Cooling mechanism

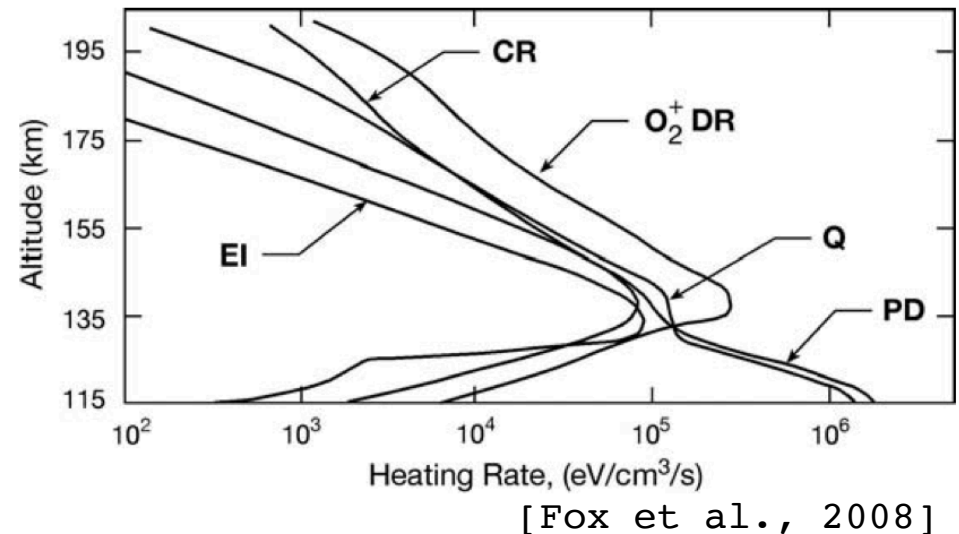
molecular conduction

$CO_2$  15- $\mu m$  cooling [Gordiets et al., 1982]

Heat budget of the Martian atmosphere

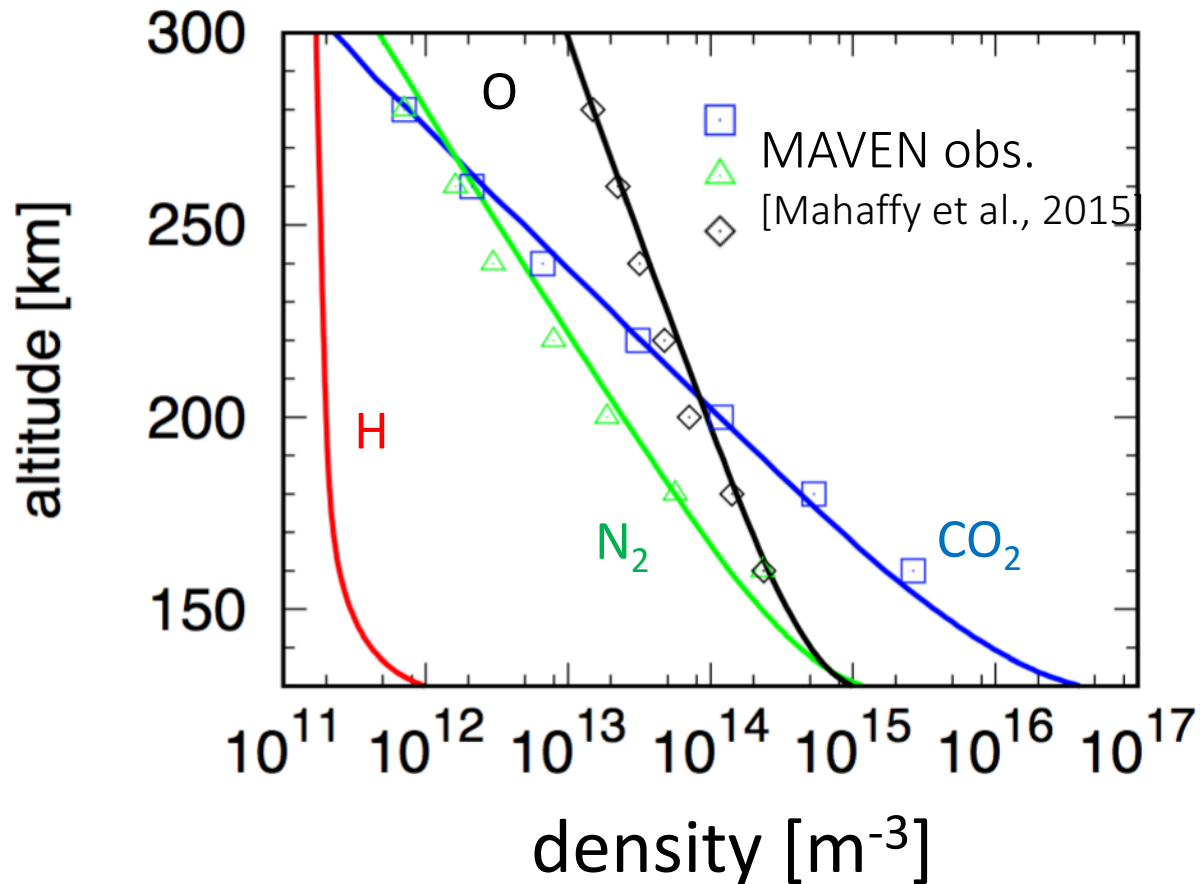


Heating rates in the Venus thermosphere



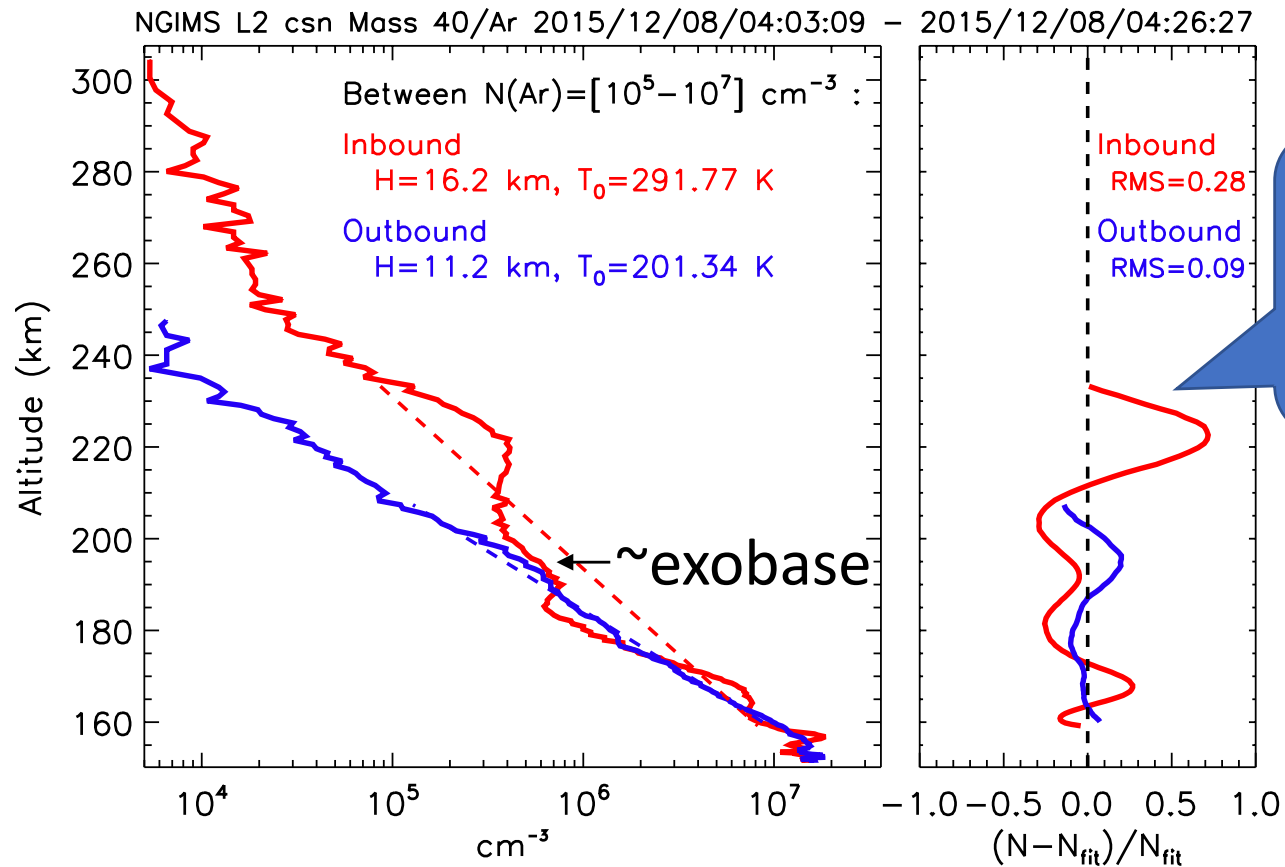
# Full-particle DSMC simulations

(molecular diffusion and radiative damping included)



Quasi-steady state solution of our DSMC model agrees well with MAVEN observations.

# An example of thermospheric perturbations (MAVEN/NGIMS in-situ obs.)

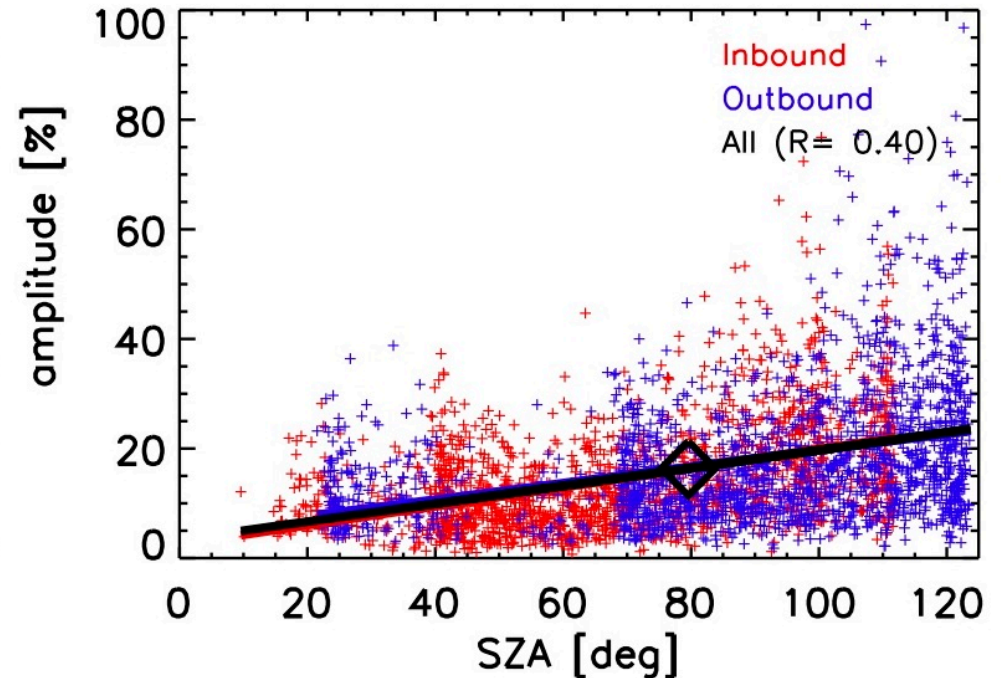
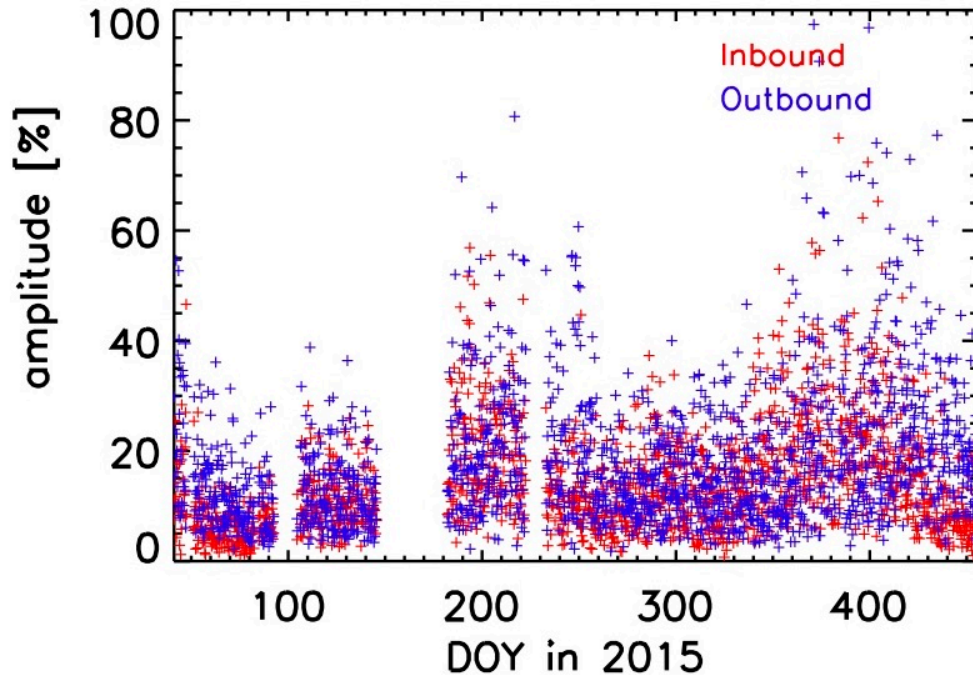


目標は、この無衝突領域での大振幅擾乱を説明すること

[Terada et al., 2017]

- Large-amplitude ( $\sim 50\%$ ) and small-scale ( $\lambda_h \sim 200 \text{ km}$ ) perturbations exist even **above the exobase**
- Why do they exist in the **collisionless exosphere** ?
  - Any perturbations should be quickly dissipated due to molecular diffusion

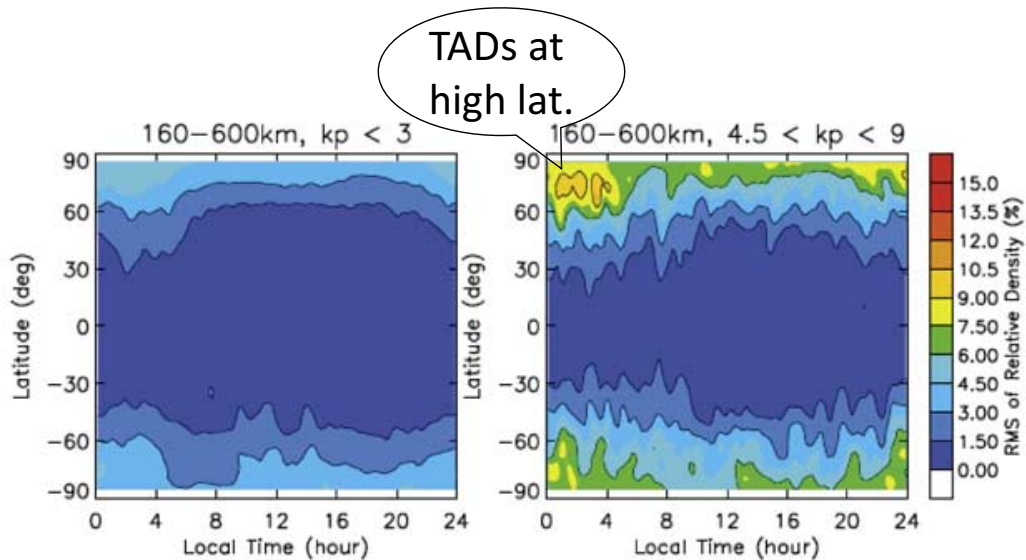
# One-year observations of exospheric (above the exobase) perturbations



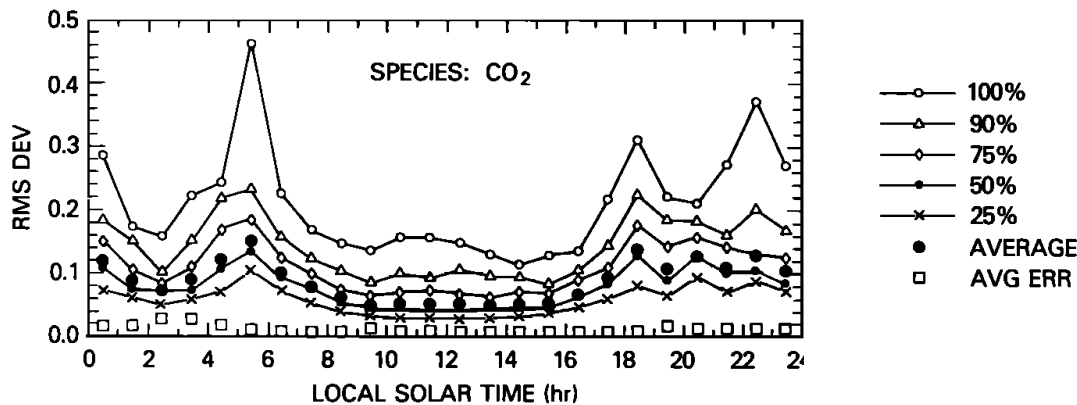
R = 0.7, if daily-averaged amplitudes are used.

- Wave amplitudes in the Martian exosphere (> ~200 km alt.) are **~10-20 %** on average, and sometimes **> 50 %**
- **Higher amplitudes on nightside**

# Comparison among Earth, Venus, and Mars

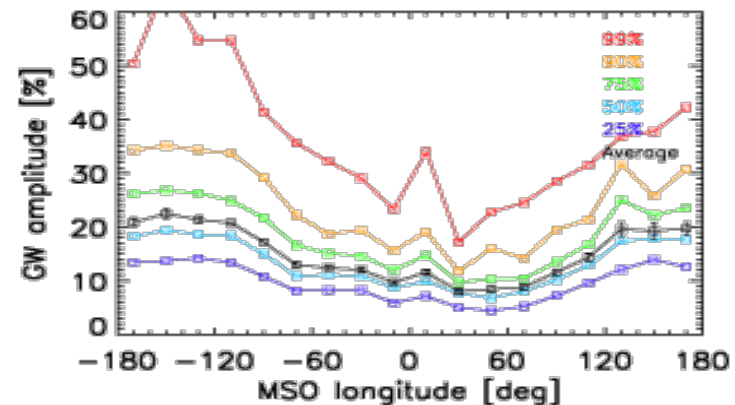


Earth, CHAMP obs. at 370-450 km altitudes  
[Bruinsma and Forbes, 2008]



Venus, PVO obs. around the exobase  
[Kasprzak et al., 1988]

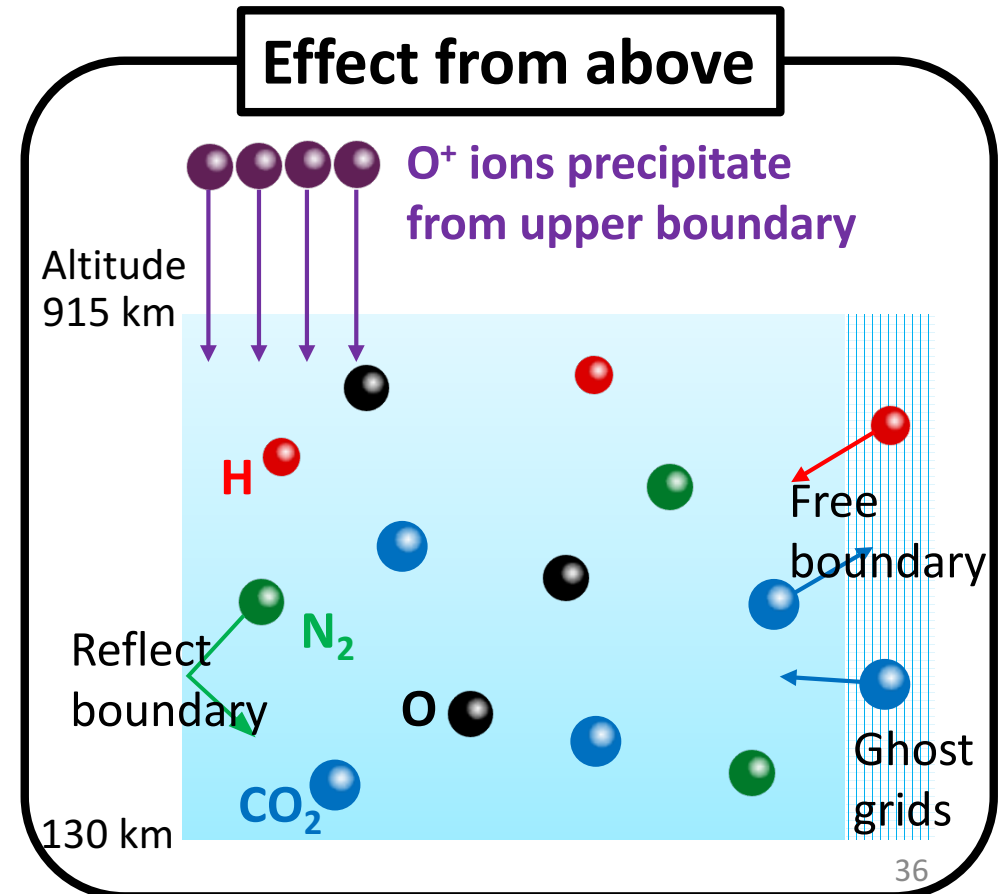
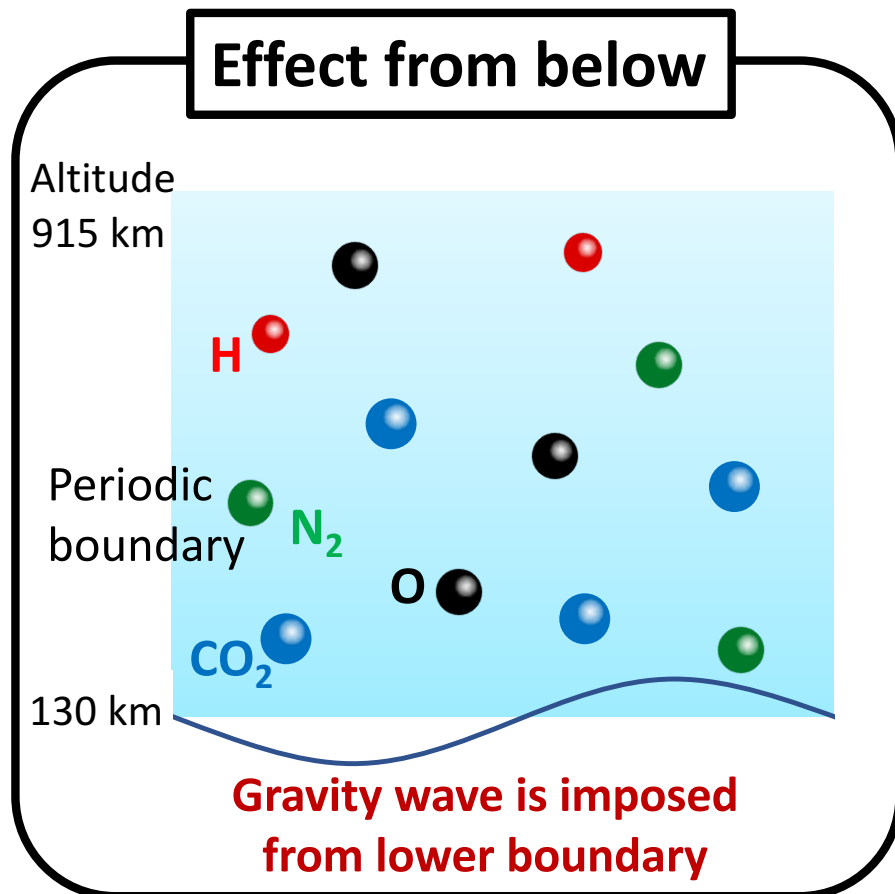
- Around the exobases.
- Similar analysis methods are used.
  - Earth low lat. ~ 1%
  - (Earth high lat. ~ 3-8%)  
[Bruinsma and Forbes, 2008]
  - Venus ~ 5-10%  
[Kasprzak et al., 1988]
  - Mars ~ 10-20%  
[Terada et al., 2017]



Mars, MAVEN obs. around the exobase  
[Terada et al., 2017]

# Full-particle DSMC simulations

- To understand **excitation, propagation, and dissipation processes** of thermospheric-exospheric perturbations, a full-particle DSMC (Direct Simulation Monte-Carlo) model is utilized

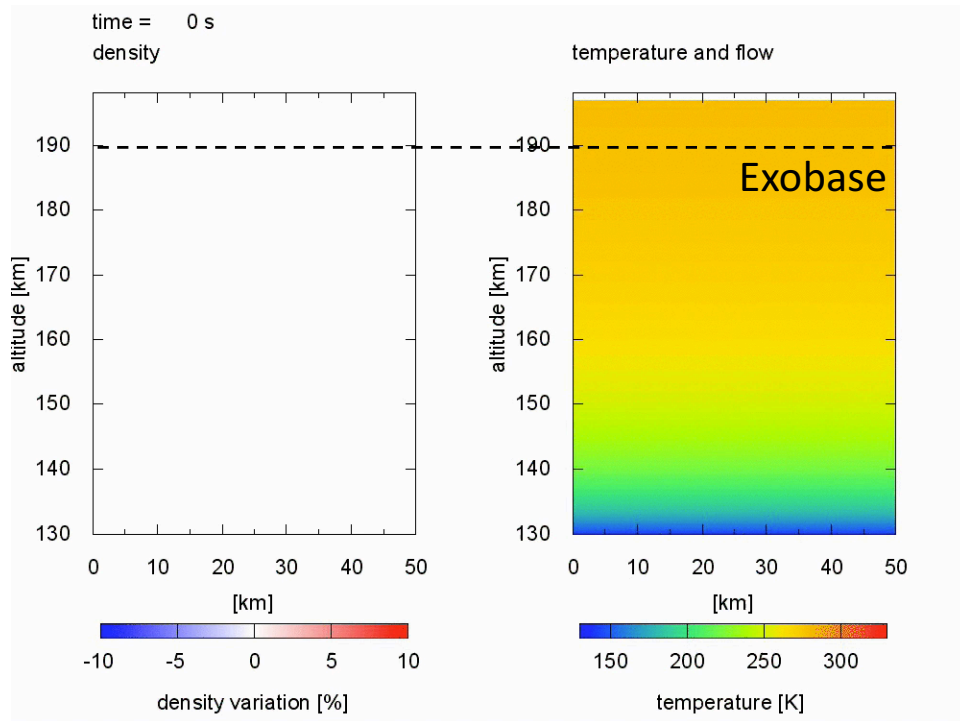




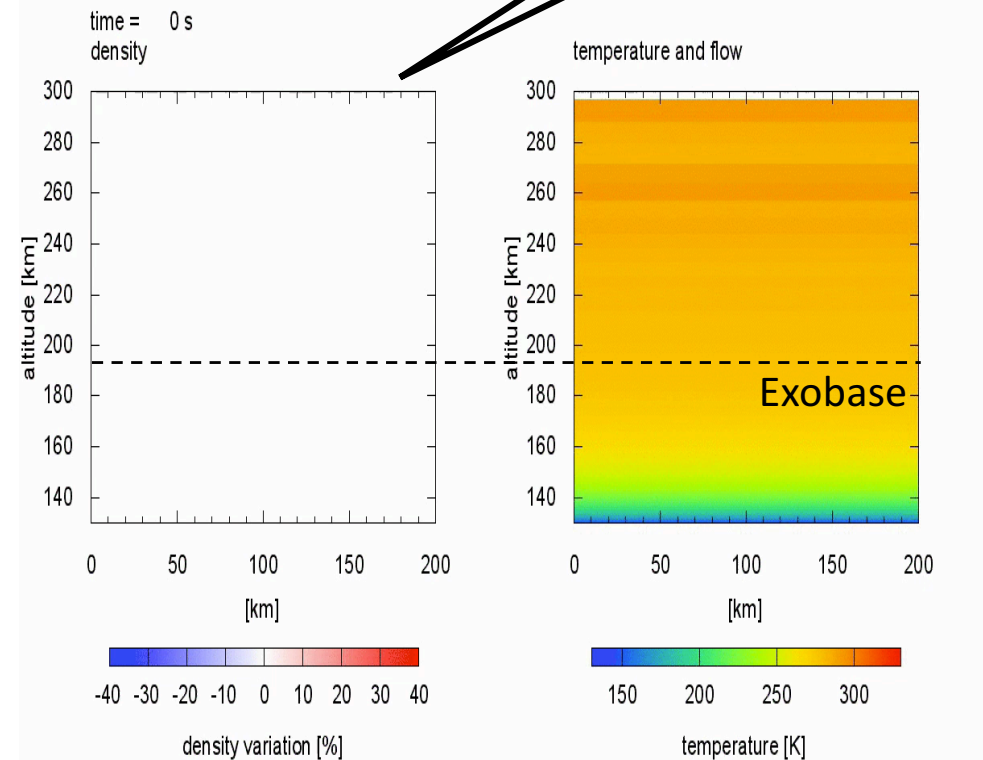
# Full-particle DSMC simulations

(molecular diffusion and radiative damping included)

### GWs with $\lambda_z=30$ km



### GWs with $\lambda_z=215$ km



Ballistic motions  
above exobase

$\lambda_z=200$  km or more is required to explain exospheric (>200 km alt.) perturbations observed by MAVEN.

- Amplitude growth of GW (cf. Imamura and Ogawa [1995]):

$$\propto \exp \left( \frac{1}{2H} - \frac{\eta (k_z^2 + k_x^2)^2}{N_B k_x} - \frac{1}{\tau_{rad} N_B} \frac{(k_z^2 + k_x^2)^{3/2}}{k_z k_x} \right) z$$

**Growth with height**      **Damping due to molecular viscosity**      **Damping due to radiative cooling**

- GW with a large  $\lambda_z$  (with a faster group velocity) has a higher amplitude at a higher altitude

- Amplitude growth of GW (cf. Imamura and Ogawa [1995]):

$$\propto \exp \left( \frac{1}{2H} - \frac{\eta (k_z^2 + k_x^2)^2}{N_B k_x} - \frac{1}{\tau_{rad} N_B} \frac{(k_z^2 + k_x^2)^{3/2}}{k_z k_x} \right) z$$

Growth with height      Damping due to molecular viscosity      Damping due to radiative cooling

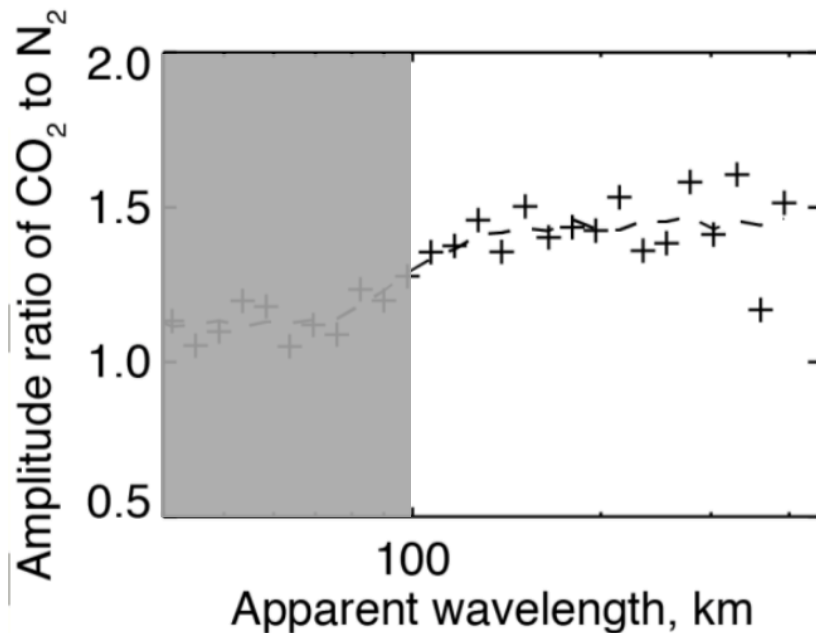
- GW with a large  $\lambda_z$  (with a faster group velocity) has a higher amplitude at a higher altitude
- Why larger amplitude at Mars than Venus and Earth ?
  - Difference in damping
    - **Radiative cooling** ( $\text{CO}_2$  15  $\mu\text{m}$ ) is stronger at Venus (higher O/ $\text{CO}_2$  ratio)
    - Damping due to **ion drag** is stronger at Earth
  - Difference in forcing (?)
    - Mars winter jet wind speeds would be much faster than Earth's [Fritts et al., 2006]

# Full-particle DSMC simulations

(molecular diffusion and radiative damping included)

## MAVEN observation

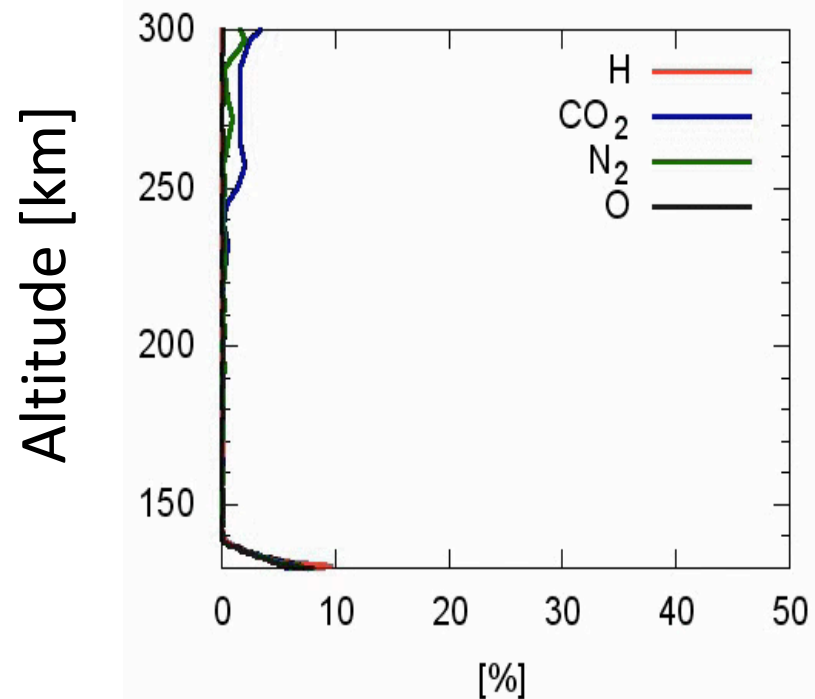
[England et al., 2016]



## DSMC simulation ( $\lambda_z=215$ km)

time = 33 s

density variation



Calculated amplitude ratio of CO<sub>2</sub> to N<sub>2</sub> perturbations qualitatively agrees with MAVEN observations.

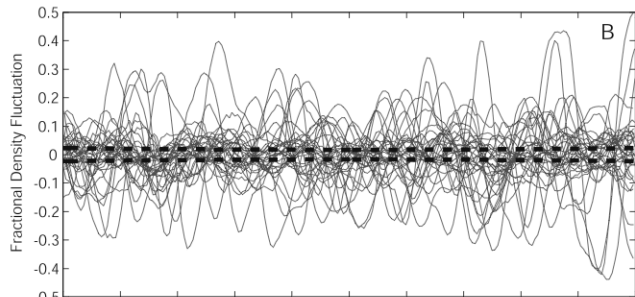
# How such a long $\lambda_z$ ( $\lambda_z > 200$ km) wave excited ?

A gap between lower and upper thermospheres

MGS observation in lower thermosphere [Creasey et al., 2006]

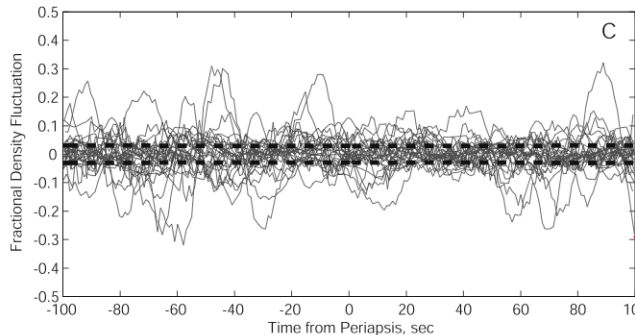
Dayside

1500 LT  
~60°S  
35 orbits

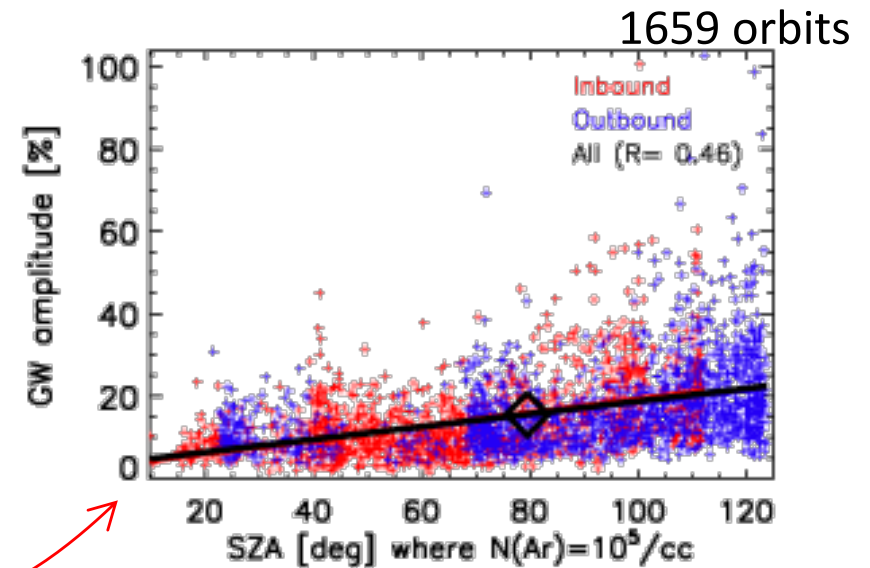


Nightside

0200 LT  
~60°S  
30 orbits



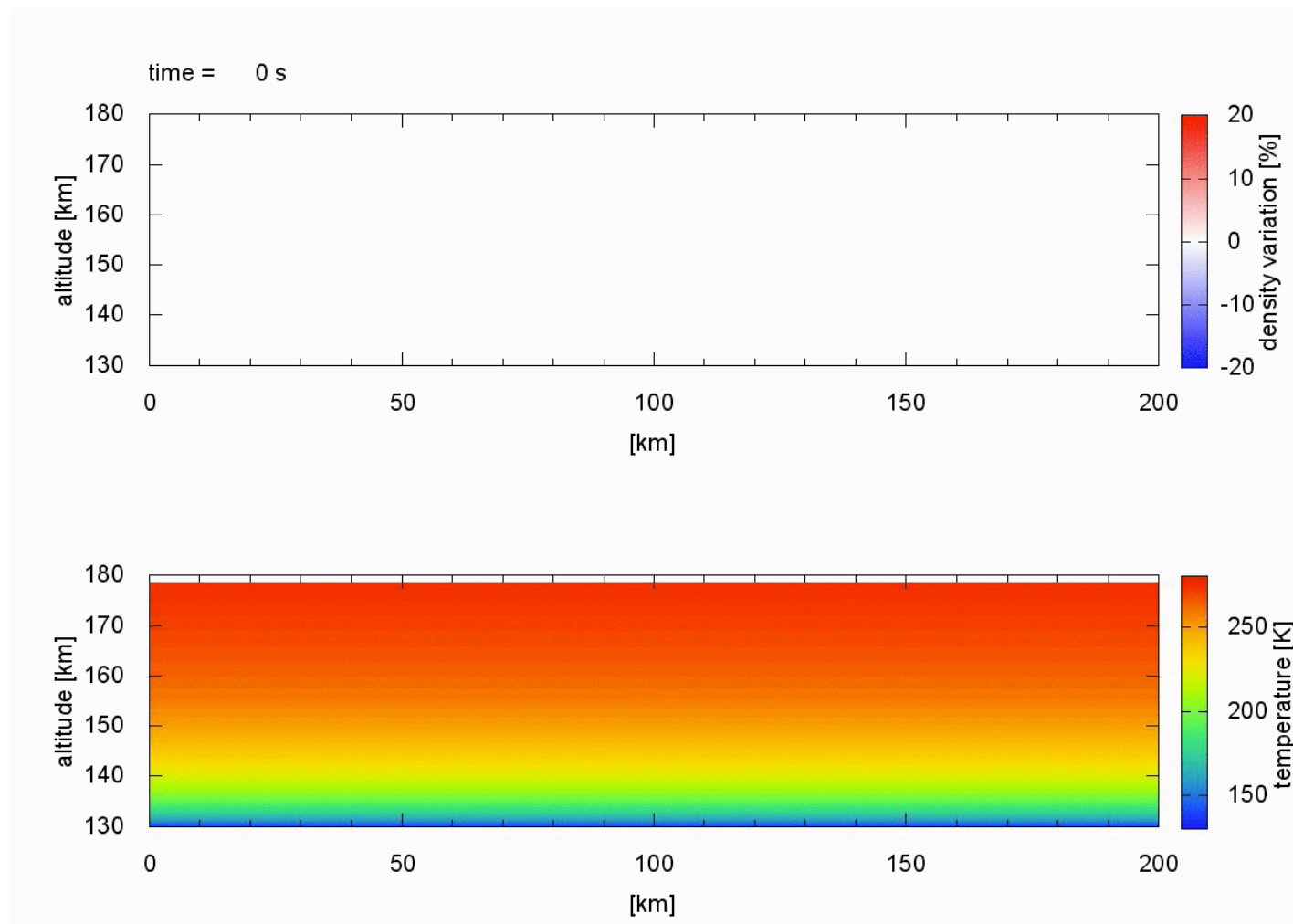
MAVEN observation in upper thermosphere >150 km alt. [This study]



**Day-night variation is opposite**  
**Gap ?**

Secondary waves may be excited by dissipation of GWs ?

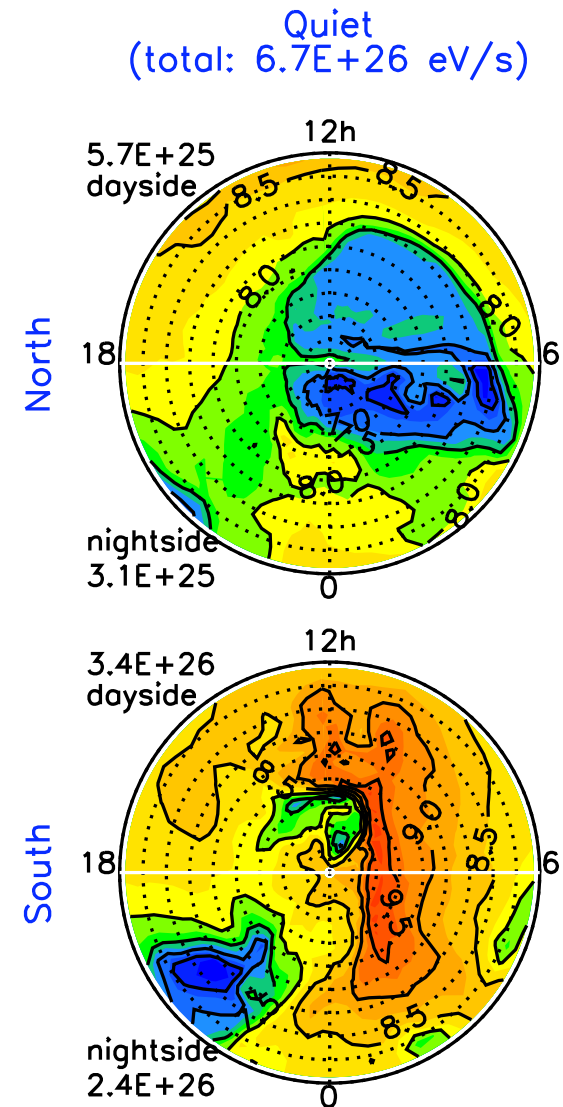
# Excitation of secondary GWs ??



- ローカライズした波が必要？

# Effects from above

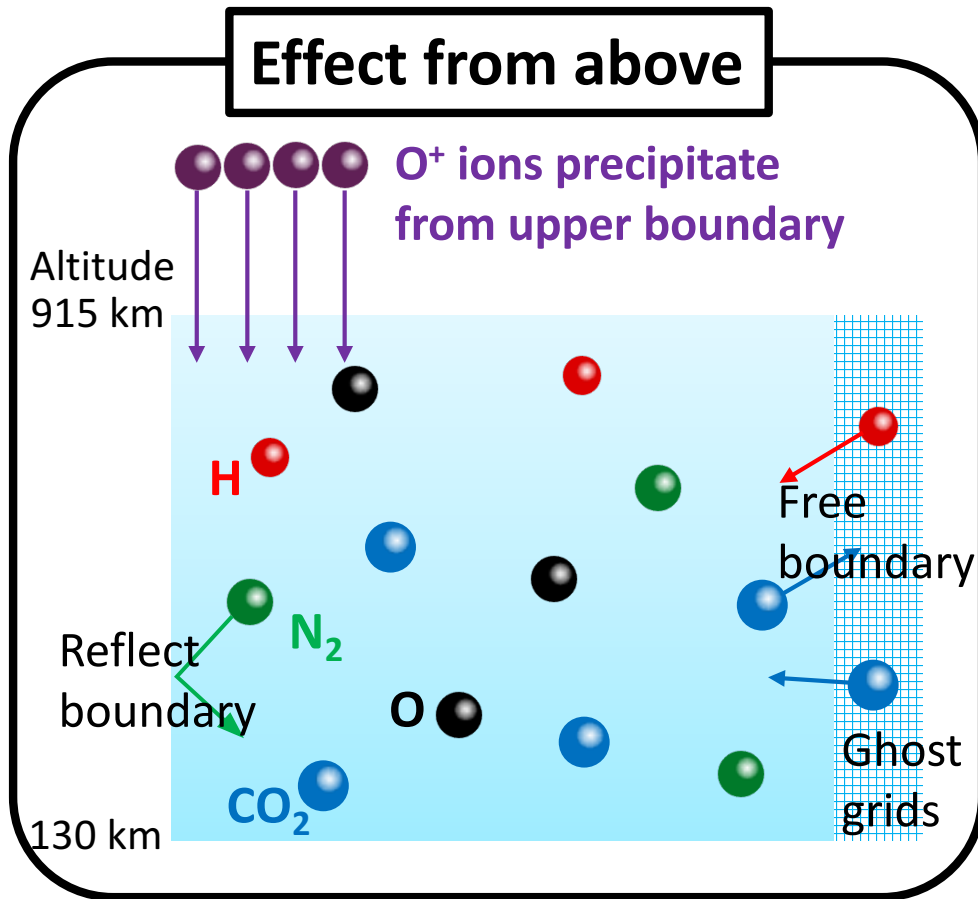
- Precipitating ions
  - Pickup  $O^+$  ions at Mars (and Venus)
  - They may produce larger amplitude waves at higher latitudes [e.g., Fang et al., 2013]
  - Total precipitating  $O^+$  energy is **~0.1-1 Giga Watt** at Mars
- (cf. in the polar region of Earth, Joule heating and particle precipitation **~100 Giga Watt** [Knipp et al., 2004])



Estimate of precipitating  $O^+$  energy flux [Fang et al., 2013]

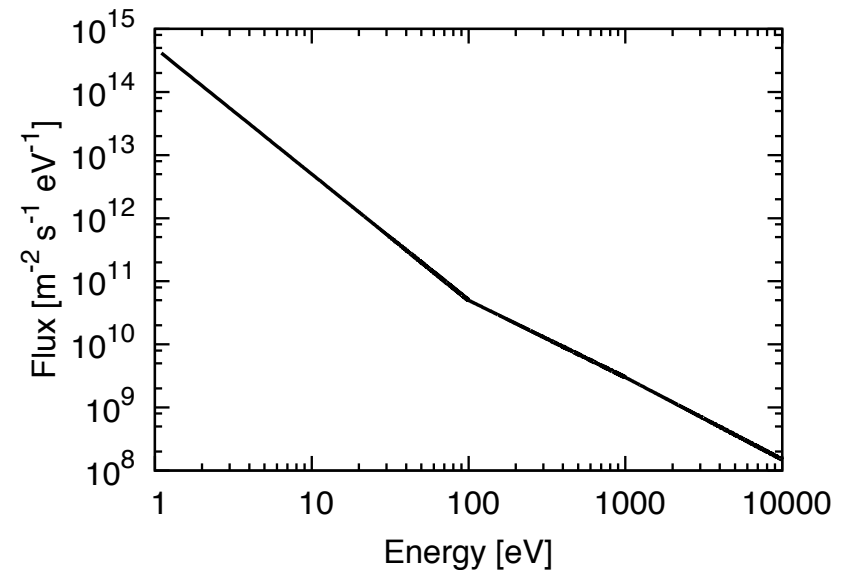
# Full-particle DSMC simulations

(effect of precipitating  $O^+$  ions)



## Energy spectrum of precipitating $O^+$ ions

Impacting for only first 3 minutes



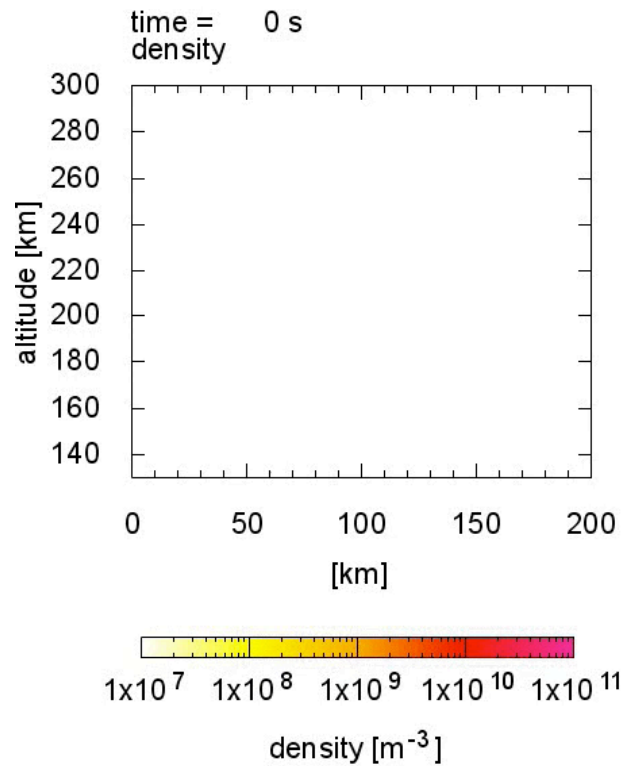
About 3-4 orders larger flux than Chaufray et al. [2007] and Leblanc et al. [2015]



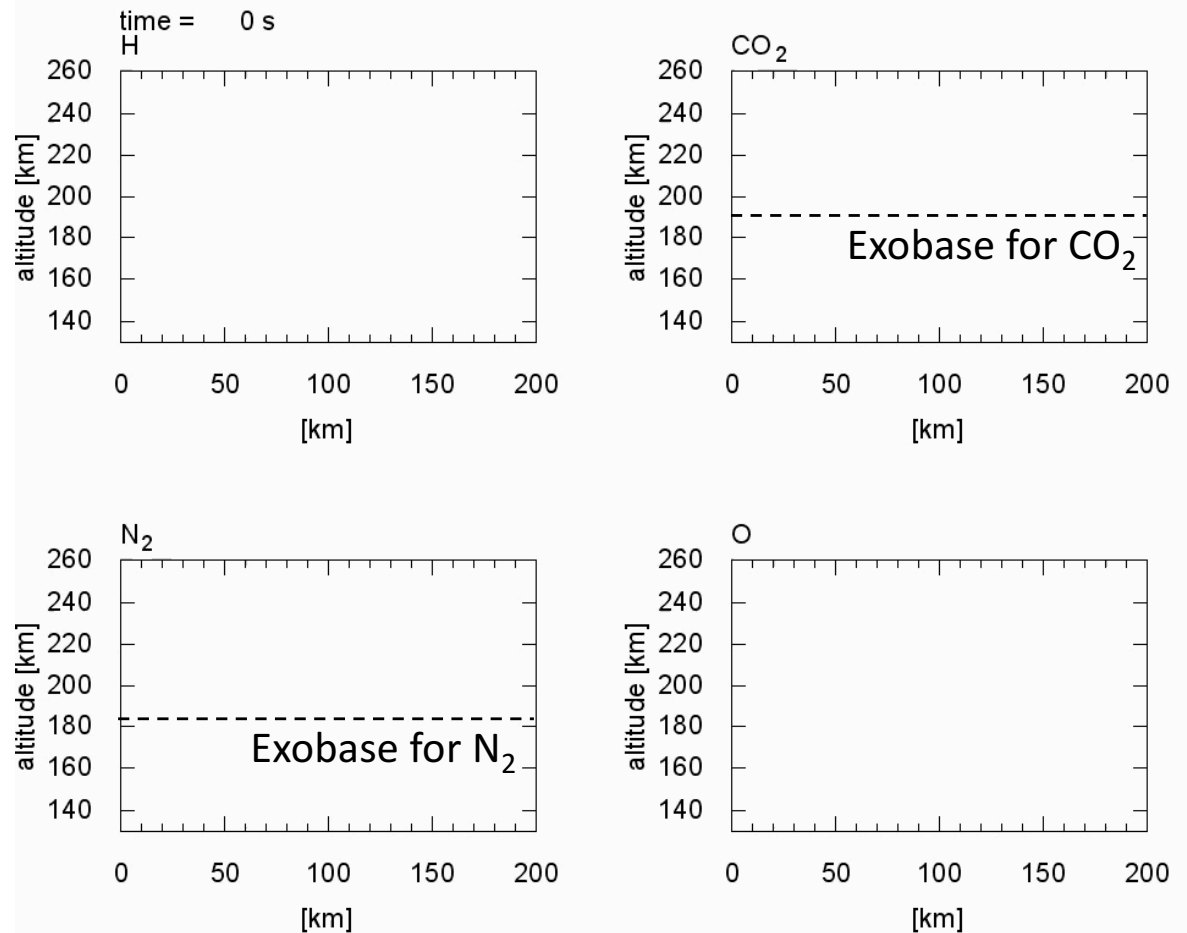
# Full-particle DSMC simulations

(effect of precipitating  $O^+$  ions)

## Precipitating $O^+$ ions

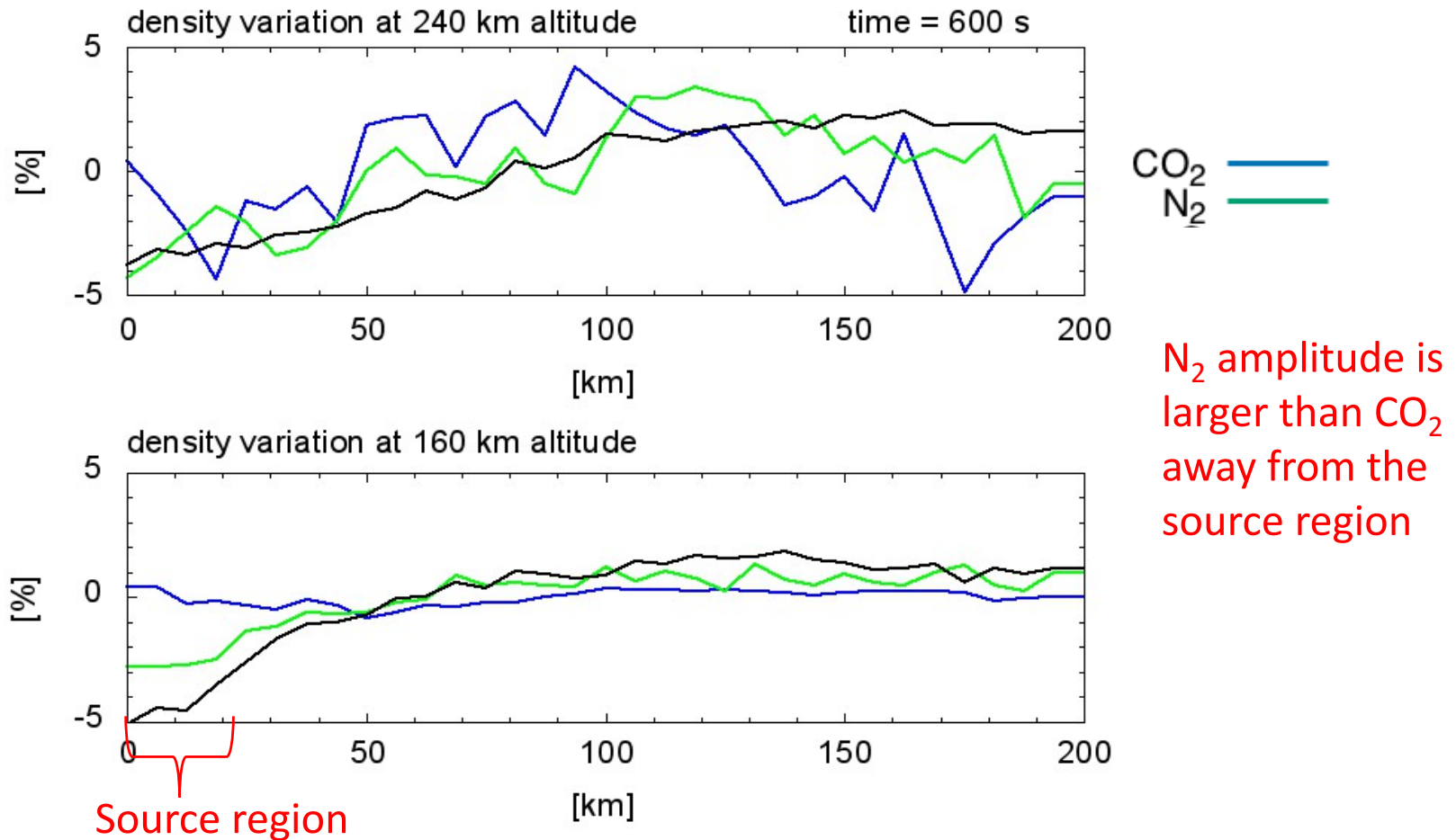


## Density perturbations in the Martian thermosphere-exosphere



# Full-particle DSMC simulations

(effect of precipitating  $O^+$  ions)



Amplitude ratio of CO<sub>2</sub> to N<sub>2</sub> may be opposite to MAVEN observations. Even more, a very large precipitating flux of O<sup>+</sup> ions is required.

# Conclusions

- The average amplitudes of small-scale perturbations around exobase are ~10-20% at Mars, ~5-10% at Venus, and ~1% at low latitude region of Earth (~3-8% at high latitude region of Earth).
- DSMC simulations suggest that perturbations around Mars exobase are produced by GWs with a very long  $\lambda_z$  ( $\lambda_z > 200$  km).
- However, excitation mechanism of such a long  $\lambda_z$  mode, and a gap between the lower and upper thermospheres (opposite day-night variations) are still to be explained.
- In the polar region of Earth's thermosphere, solar wind forcing (Joule heating and particle precipitation, ~100 Giga Watt) sometimes generates large-amplitude perturbations.
- However, in the Martian (and probably Venusian) thermosphere, solar wind forcing (~0.1-1 Giga Watt) seems to be less important.